

## О ТРЕХМЕРНЫХ СЕТЧАТЫХ СТРУКТУРАХ, СВЯЗАННЫХ С НЕУСТОЙЧИВОСТЯМИ РИХТМАЙЕРА—МЕШКОВА И РЭЛЕЯ—ТЕЙЛОРА

Н. А. Иногамов\*

*Институт теоретической физики им. Л. Д. Ландау Российской академии наук  
142432, Черноголовка, Московская обл., Россия*

А. М. Опарин†

*Институт автоматизации проектирования Российской академии наук  
123056, Москва, Россия*

Поступила в редакцию 20 апреля 1999 г.

Граница, разделяющая смежные газовые или жидкие среды, зачастую неустойчива. Неустойчивостями Рихтмайера—Мешкова и Рэлея—Тейлора обусловлено разрастание сложных структур на границе. В работе впервые изучены все решеточные симметрии (прямоугольные ( $pm2$ ), квадратные ( $p4m$ ), гексагональные ( $pm6$ ) и треугольные ( $p3m$ ) сетки), представляющие интерес в связи с задачей о неустойчивости поверхности жидкости. Они получаются из начальных возмущений, состоящих из одной (плоский случай, двумерное течение), двух (прямоугольные ячейки) или трех (гексагоны и треугольники) гармонических волн. Показано, что в процессе развития динамическая система совершает переход от начального слабо возмущенного состояния в предельное или асимптотическое стационарное состояние (стационарную точку). Исследована устойчивость этих точек (стационаров). Показано, что как в случае Рихтмайера—Мешкова, так и в случае Рэлея—Тейлора стационары устойчивы относительно крупномасштабных возмущений. Обнаружено, что в определенных случаях симметрия в процессе эволюции возрастает. Например, начальное возмущение Рихтмайера—Мешкова или Рэлея—Тейлора было суммой двух перпендикулярных друг другу волн с равными волновыми числами, но не равными амплитудами:  $a_1(t=0) \neq a_2(t=0)$ . Тогда в процессе эволюции течение обладает симметрией  $p2$  (поворот относительно вертикальной оси на  $180^\circ$ ), которая при  $t \rightarrow \infty$  переходит в симметрию  $p4$  (поворот на  $90^\circ$ ), поскольку в стационарном состоянии амплитуды выравниваются:  $a_1(t=\infty) = a_2(t=\infty)$ . Показано, что гексагональная и треугольная сетки взаимно дополнительные. При инверсии времени  $t \rightarrow -t$  происходит «перефазировка» и пузыри гексагональной сетки превращаются в струи треугольной сетки и наоборот.

PACS: 47.20.Bp; 47.20.Ky; 47.20.Ma; 52.58.Ns

### 1. ВВЕДЕНИЕ

Неустойчивость Рихтмайера—Мешкова (РМН) возникает при прохождении ударной волны через границу разноплотных сред, а неустойчивость Рэлея—Тейлора (РТН) порождается неустойчивой гравитационной стратификацией. Перемешивание сред, вызванное ими, существенно во многих физических проблемах, например в лазерном и

\* E-mail: nail@landau.ac.ru

† E-mail: oparin@landau.ac.ru

пучковом инерционном синтезе [1–3], в астрофизике [4, 5] и в физике взрыва [6]. Соответствующие вопросы интенсивно изучаются, достаточно указать на самые последние работы [3, 7–10]. Теория РМН и РТН оказывается достаточно трудной, сопоставимой по сложности с теорией гравитационных волн.

*Обзор теории.* Упомянем основные теоретические работы<sup>1)</sup>, группируя их по использованным методам. В основном исследовался двумерный (2D) случай, поскольку трехмерный (3D) намного сложнее. Поэтому выделим работы, где исследовался 3D-случай.

1. *Параболическая модель, РМН и РТН, нестационарные и стационарные случаи.* Эффективной является модель Лэйцера [11], основанная на параболической аппроксимации границы ( $\eta = \dots x^{2N}$ ,  $N = 1$ ) вблизи вершины пузыря. Она приводит к динамической системе, траектории которой описывают процесс постепенной трансформации деформаций границы, начиная от исходного слабо возмущенного состояния и кончая установлением стационарного состояния (стационара или стационарной точки). Стационар достигается асимптотически при  $t \rightarrow \infty$ . Можно сузить задачу и сразу изучать стационар (в стационарной точке производные по времени приравниваются нулю). Тогда вместо динамической системы и дифференциальных уравнений возникает система алгебраических уравнений, представляющая собой стационарный вариант модели Лэйцера. Стационар первого порядка (параболическая аппроксимация,  $N = 1$ ) изучался еще до работы Лэйцера в замечательной работе Девиса и Тейлора [12]. Лэйцеровский подход применим как при РМН ( $g = 0$ ,  $g$  — ускорение свободного падения), так и при РТН ( $g = 1$ ) [13–15]. Если исключить случай прямоугольной решетки (о ней и других 3D-обобщениях см. ниже), то фазовое пространство лэйцеровской модели оказывается плоским [15]. Это позволяет исследовать соответствующую динамическую систему в самом общем случае [15] (см. также последующие работы [7, 9, 16–18]). Из анализа, в частности, следует устойчивость РМ- и РТ-стационаров в классе крупномасштабных возмущений, поскольку стационарная точка — узел [15, 17, 18].

2. *Функциональная окрестность равновесной конфигурации.* Ряд исследований выполнен в слабонелинейном приближении, справедливом при небольших амплитудах возмущений (см. работы [19, 20] и имеющиеся в них ссылки). Это приближение описывает только начало отхода от симметричной относительно инверсии пузырь — струя стадии движения<sup>2)</sup> в сторону асимметрии пузырь — струя. Асимметрия проявляется в расширении пузыря и сужении струи.

3. *Интегральная запись краевой задачи теории потенциала.* Определенные результаты удастся получить методом конформных преобразований, представляя краевую задачу в виде интегрального уравнения [21–23].

4. *Последовательные приближения.* В работах [24, 13, 15, 17] разработаны высшие обобщения модели 1  $N$ -го порядка аппроксимации ( $\eta = \dots x^{2N}$ ,  $N$  достаточно велико). Они относятся как к стационарному [24, 17], так и к нестационарному [13, 15] случаям. Высшие разложения являются мощным инструментом исследования проблем сходимости и единственности [17].

*Объединение подходов 1 и 4.* Очевидное преимущество метода 1 перед 2, 3 составляет

<sup>1)</sup> Экспериментальные и численные исследования цитируются по ходу изложения.

<sup>2)</sup> Симметрична линейная стадия. На ней произвольное возмущение есть линейная комбинация гармоник. Гармоники развиваются независимо. У каждой синусоиды пузыря и струи симметричны.

то, что в 1 трансформация от линейной до нелинейной предельной или асимптотической стадии отслеживается в целом. В сочетании с подходом 4 открываются возможности получения исчерпывающих результатов по РМН и РТН. Заметный изъян заключается в неразработанности высших стационарных аппроксимаций при РМН (стационарные краевые условия сложны, не ясен вопрос о нуль- или однопараметричности).

*Объединенный подход в 3D-случае.* Распространение метода 1 на 3D-геометрию (см. ниже) дает общее описание эволюции. Оказывается, она сопровождается яркими структурными эффектами<sup>3)</sup>. В свою очередь, перенос техники 4, разработанной в основном для 2D-случая, позволяет получить важные качественные выводы о сходимости и единственности РТН в 3D-случае. Таким образом, в данной работе речь идет о распространении методов 1, 4 на 3D-геометрию.

*Предыдущие работы по 3D-течениям.* В [28, 29, 17] метод 4 применен к стационарной стадии РТН в 3D-случае. Значения  $N$  невелики. Работы [30–32] посвящены трехмерному численному моделированию. В [33, 34] описаны 3D-эксперименты в ударных трубах, а в [35] — во взрывной системе.

*Содержание.* В разд. 2 и 3 приведены постановка задачи, краевые условия и спектральные разложения 3D-потенциалов. Обсуждается симметрия потенциалов и элементарных ячеек сетки. В разд. 4 и 9 выведены уравнения обобщения модели 1 на 3D-случай. Дан полный анализ соответствующего фазового пространства. В случае РМН найдены точные интегралы полученных уравнений. В разд. 4, 5 и 7 изучена 3D-структура поверхности  $\eta$ . В разд. 6 приведены результаты прямого численного моделирования. В разд. 10 и 11 рассмотрены РТ-стационары. Доказана однопараметричность 3D-стационаров (разд. 10). Показано, что стационарная точка одна (разд. 11).

## 2. ГАРМОНИЧНОСТЬ И КРАЕВЫЕ УСЛОВИЯ

Течение описывается потенциалом  $\varphi$  скорости ( $\Delta\varphi = 0$ ,  $\mathbf{V} = \nabla\varphi$ ). Краевые условия имеют вид [36]

$$\eta_t = w| - \eta_x u| - \eta_y v|, \quad u = \varphi_x, \quad v = \varphi_y, \quad w = \varphi_z, \quad (2.1)$$

$$-2\varphi_t| = 2g\eta + u^2| + v^2| + w^2|, \quad f| \equiv f|_\eta \equiv f[x, y, z = \eta(x, y, t), t]. \quad (2.2)$$

Граница жидкости задается функцией  $z = \eta(x, y, t)$ . Ускорение  $g = 0$  при РМН и  $g = 1$  при РТН. Кинематическое условие (2.1) описывает адвекцию поверхности  $\eta$  полем скоростей  $\nabla\varphi$ . Динамическое условие (2.2) представляет собой интеграл Коши—Лагранжа уравнения Эйлера. Стационарный случай получается при  $\partial_t = 0$ , а двумерный при  $\partial_y = 0$ . В стационарном случае условие (2.2) превращается в интеграл Бернулли.

<sup>3)</sup> Предварительное описание этих эффектов дано в [18]. Там рассмотрен только  $p4m2$  случай (квадрат). Ниже рассмотрен общий случай (решетки  $p2m2$ ,  $p6m2$  и  $p3m1$ ; о классах симметрии см. [25–27]). Отметим следующие новые эффекты. 1. Одинаковость динамики пузырей в разных решетках. 2. Асимптотическое повышение симметрии (симметрия набора  $\{k\}$  начальных волновых векторов важнее совокупной симметрии набора начальных амплитуд и векторов  $\{a; k\}$ ). 3. Взаимозаменяемость гексагональной и треугольной сеток пузырей при перефазировке РМН и РТН. Кстати, половину периода по времени стоячей гравитационной волны сетка гребней — гексагональная, а в течение второй половины — треугольная.

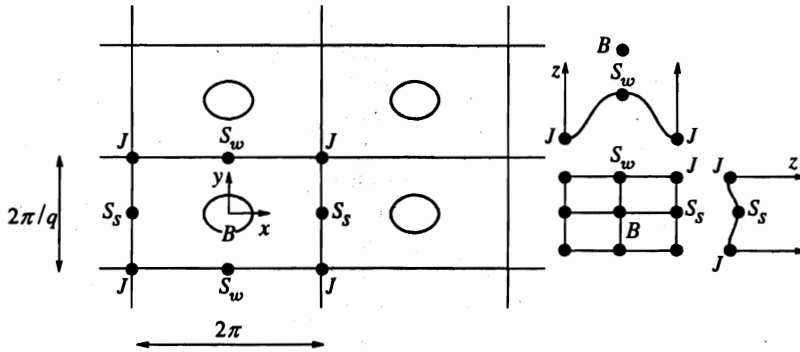


Рис. 1. Прямоугольная решетка пузырей B. Их вершины окружены эллипсами

3. ПРЯМОУГОЛЬНЫЕ, ГЕКСАГОНАЛЬНЫЕ И ТРЕУГОЛЬНЫЕ РЕШЕТКИ

Симметрия разложения. Симметрия течения определяется симметрией потенциала. Спектральные разложения потенциалов имеют вид

$$\varphi = -\frac{1}{2} \sum_{n=0}^{\infty} \sum_{m=0}^{\infty} \frac{a_{nm}}{q_{nm}} c_{nx} c_{mqy} e_{nm}, \tag{3.1}$$

$$c_{nx} = \cos nx, \quad c_{mqy} = \cos mqy, \quad e_{nm} = \exp(-q_{nm}z), \quad q_{nm} = \sqrt{n^2 + m^2q^2},$$

$$\varphi = -\frac{1}{6} \sum_{n=0}^{\infty} \sum_{m=0}^{\infty} \frac{a_{nm}}{q_{nm}} (c_n c_m^+ + s_n s_m^+ + c_n c_m^- + s_n s_m^- + c_n^+ c_m^- - s_n^+ s_m^-) e_{nm}, \tag{3.2}$$

$$c_n = \cos nx, \quad c_n^{\pm} = \cos n\xi^{\pm}, \quad s_n = \sin nx, \quad s_n^{\pm} = \sin n\xi^{\pm}, \quad \xi^{\pm} = \frac{x \pm \sqrt{3}y}{2},$$

$$e_{nm} = \exp(-q_{nm}z), \quad q_{nm} = \sqrt{n^2 - nm + m^2}.$$

Ряд (3.1) относится к прямоугольному случаю. Элементарная ячейка является трубой с образующей вдоль оси z и поперечным сечением  $2\pi \times 2\pi/q$ , лежащим в плоскости (x, y), см. рис. 1. Отношение сторон прямоугольника равно q. Анализ прямоугольной решетки позволяет понять, как 2D-течение перестраивается в 3D-течение. Ряд (3.1) представляет собой комбинацию двух векторов (1, 0, 0) и (0, q, 0), а ряд (3.2) — трех векторов (1, 0, 0) и  $(1/2, \pm\sqrt{3}/2, 0)$ . В ряду (3.1) каждое слагаемое является собственной модой лапласиана, а в ряду (3.2) собственными модами являются пары  $(cc^{\pm} + ss^{\pm})e$ ,  $(c^+c^- - s^+s^-)e$ .

Матрицы амплитуд  $a_{nm}$  (3.1), (3.2) суть функции времени. Амплитуды  $a_{nm}$  (3.1) не симметричны (при  $q \neq 1$ ) относительно перестановки индексов. Амплитуды  $a_{nm}$  (3.2) симметричны ( $a_{nm} = a_{mn}$ ). Квадратная решетка получается при подстановке  $q = 1$  в ряд (3.1). В этом случае амплитуды симметричны.

Элементарная ячейка и идеальная труба. Разложения потенциалов (3.1), (3.2) быстро сходятся (для 2D-случая это показано в [15, 17]). В ряду (3.1) доминируют<sup>4)</sup> амплитуды  $a_{10}, a_{01}$ , а в (3.2) —  $a_{10}$ . Рассмотрим элементарную ячейку потенциала (3.1). Центр

<sup>4)</sup> Это и позволяет использовать для описания течения параболическую модель 1.

поперечных координат ( $x = 0, y = 0$ ) находится в точке  $B$  (рис. 1). Если начальные амплитуды  $a_{10}(0), a_{01}(0)$  положительны, а начальные возмущения поверхности  $\eta$  отсутствуют, то точка  $B$  является вершиной пузыря. На рис. 1 вершины охвачены эллипсами. Нетрудно видеть, что прямолинейные вертикальные (т. е. параллельные оси  $z$ ) траектории жидких частиц проходят через точки  $B$  (пузырь),  $J$  (струя),  $S_s$  («сильное» седло) и  $S_w$  («слабое» седло). Плоские кривые траектории жидких частиц заполняют плоскости, параллельные оси  $z$  и проходящие через прямые  $BS_s, BS_w, JS_s$  и  $JS_w$ . Отрезки этих прямых вычерчены на маленьком прямоугольнике на рис. 1. Если  $q = 1$  (квадрат), то плоские траектории заполняют и плоскости, проходящие через диагонали  $BJ$ .

Сказанное связано с очевидными свойствами симметрии потенциала (3.1). На симметричных вертикалях  $B, J, S_s, S_w$  поперечные (горизонтальные) скорости  $u$  и  $v$  (2.1) равны нулю. Это вызвано тем, что по этим прямым пересекаются плоскости симметрии  $BS_s, BS_w, JS_s, JS_w$ . На этих плоскостях обращается в нуль нормальная компонента скорости  $V_n$ . Поэтому четверть полного периода течения, заключенная в прямоугольник  $BS_sJS_w$ , эквивалентна течению в идеальной трубе. На стенках такой трубы равна нулю нормальная составляющая скорости  $V_n$ , а не полная скорость  $V$ . В идеальной трубе поток потенциальным образом обтекает стенки. Четверть  $BS_sJS_w$  образует минимальную трубу (домен). Течение во всем пространстве получается паркетным размножением этого домена путем отражений и переносов. В случае квадрата ( $q = 1$ ) домен — треугольник  $BJS_s$ .

*Домены, стенкообразные струи и арки.* По стенкам доменов бегут пристеночные или стенкообразные струи. Вид этих струй в плане показан на рис. 1. Кривые  $JS_sJ$  и  $JS_wJ$  соответствуют нижнему (по  $z$ ) краю пристеночных струй. Кривые имеют вид арок или подков с куполом или вершиной в седловой точке  $S_s$  или  $S_w$ . На больших временах расстояние по вертикали  $z$  между точками  $J$  и  $S_s$  меньше, чем расстояние между точками  $J$  и  $S_w$ . Седла  $S_w$  больше отстают от вершин струй  $J$  в движении вниз по оси  $z$ , чем седла  $S_s$ . Поэтому седла  $S_w$  и называются «слабыми» по сравнению с «сильными» седлами  $S_s$ .

*Гексагональная решетка пузырей.* Перейдем к потенциалам (3.2). Пусть при  $t = 0$ , во-первых, доминирует амплитуда  $a_{10}$  (возмущения  $\eta$  равны нулю) и, во-вторых,  $a_{10} > 0$ . Тогда легко видеть, что в точках  $B$  на рис. 2 находятся вершины пузырей. Первые несколько вершин решетки пронумерованы цифрами 1, 2, 3 и 4. Точка 1 — центр координат. В точках  $J$  находятся вершины струй. Несколько струй пронумерованы (5–7). Симметричные вертикали ( $V_{\perp} = 0$ ) проходят через вершины пузырей  $B$ , струй  $J$  и седла  $S$ . Плоскости симметрии проходят через прямые, являющиеся продолжениями отрезков  $BJ, BS$  и  $JS$ . Минимальный домен — треугольник  $BJS$ . Полное течение складывается из паркета доменов.

*Треугольная решетка пузырей. Дополнительность треугольной и гексагональной решеток.* Рассмотрим случай треугольной решетки пузырей (рис. 3). Обозначим соответствующий потенциал  $\varphi_3(x_3, y, z, t)$ . Выше рассмотрен случай сетки типа пчелиных сот (рис. 2) с потенциалом  $\varphi_6(x_6, y, z, t)$ , который дается двойной суммой (3.2) при  $a_{10} > 0$ . При этом в центре  $x_6 = 0, y = 0$  находится вершина гексагонального пузыря  $B$ . Треугольная решетка пузырей также дается суммой (3.2), но при  $a_{10} < 0$ . Потенциал  $\varphi_3(x_3, \dots)$  треугольной решетки пузырей с пузырем в центре координат ( $x_3 = 0, y = 0$ ) получается из потенциала  $\varphi_6(x_6, \dots)$  сдвигом на отрезок, соединяющий точки 1 и 5 на рис. 2 ( $x_6 = 4\pi/3 + x_3$ ).

Дополнительность гексагональных и треугольных пузырей вытекает из инвариант-

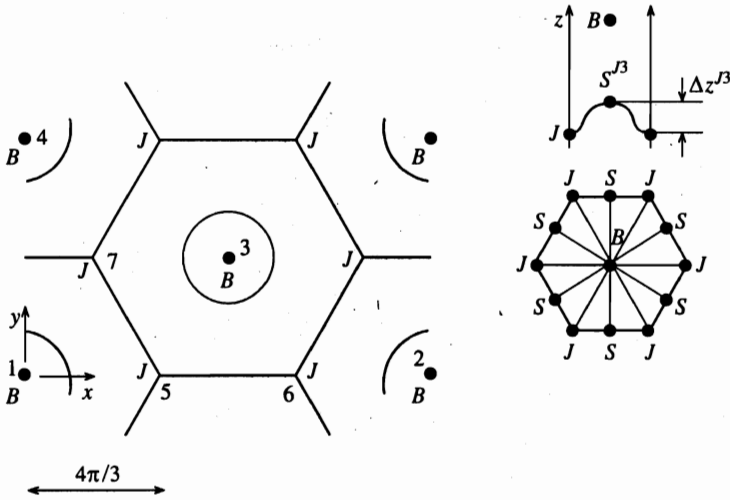


Рис. 2. Гексагональная решетка пузырей  $B$ . Вершины  $B$  охвачены кружками. Важно то, что в вершинах струй  $J$  сходятся по три плоскости симметрии, см. конец п. 5.2

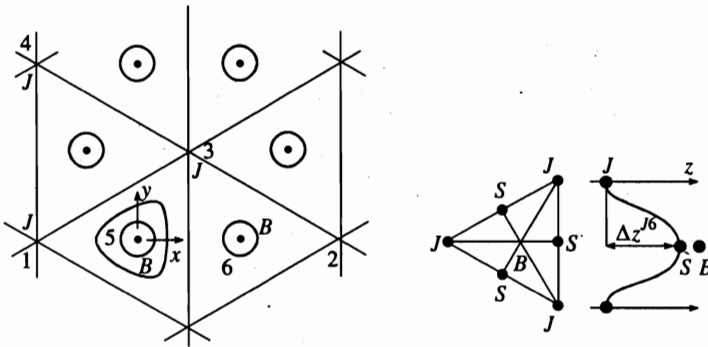


Рис. 3. Треугольная решетка пузырей  $B$  (кружки). В вершинах  $J$  сходятся по шесть плоскостей симметрии

ности потенциала (3.2) относительно поворотов вокруг оси  $p_6$  (вращение на  $60^\circ$ ), находящейся в точке 1, и вокруг оси  $p_3$  (вращение на  $180^\circ$ ), находящейся в точке 5 на рис. 2 и 3.

#### 4. ПАРАБОЛИЧЕСКАЯ МОДЕЛЬ. ДВУМЕРНОЕ ФАЗОВОЕ ПРОСТРАНСТВО

4.1. Потенциалы  $\varphi_6, \varphi_4$  и  $\varphi_3$ . В модели 1 разложения (3.1), (3.2) обрываются на первых членах. Потенциалы гексагонального, квадратного и треугольного пузырей имеют вид

$$\varphi_6 = -\frac{a}{3}(c + c^+ + c^-)e^{-z}, \quad c = \cos x, \quad c^\pm = \cos \xi^\pm, \quad (4.1)$$

$$\varphi_4 = -\frac{a}{2}(\cos x + \cos y)e^{-z}, \quad (4.2)$$

$$\varphi_3 = \frac{a}{6}(c - \sqrt{3}s + c^+ + \sqrt{3}s^+ + c^- + \sqrt{3}s^-)e^{-z}, \quad (4.3)$$

$$s = \sin x, \quad s^\pm = \sin \xi^\pm.$$

Пузыри находятся в центре  $x = y = 0$ . В (4.1)–(4.3)  $a = a_{10}$ . Согласно сказанному в п. 3, амплитуды  $a > 0$  в (4.1), (4.2) и  $a < 0$  в (4.3).

4.2. *Граница жидкости.* Можно показать, что в случае гексагона, квадрата и треугольника главные кривизны поверхности  $\eta$  в точках  $B$  и  $J$  совпадают<sup>5)</sup>. Поэтому в окрестности вершин поверхность  $\eta$  аппроксимируется симметричным параболоидом. Соответственно, горизонтальные сечения границы  $\eta$  вблизи вершин имеют вид кружка, см. рис. 2 и 3<sup>6)</sup>. В этой окрестности имеем

$$\eta(x, y, t) = \eta_0(t) - K(t)\frac{\Delta}{2}, \quad \Delta = x^2 + y^2. \quad (4.4)$$

4.3. *Вычисление скоростей и производных.* Вычислим потенциал ускорений  $\varphi_t$ , скорости  $u, v, w$  и производные  $\eta_x, \eta_y$  при помощи прямого дифференцирования (4.1)–(4.4). Рассмотрим значения потенциала и скорости на границе  $\varphi_t|, u|, v|, w|$ . Вычислим  $u^2|, v^2|, w^2|$ . Разложим выражения по малому  $\Delta$  (4.4), оставляя нулевой и первый по степени  $\Delta$  члены.

4.4. *Лабораторная и связанная системы координат и нулевой порядок кинематического условия.* При вычислении  $\varphi_t|$  возникает множитель  $\dot{a} \exp(-\eta_0)$ . Рассмотрим лабораторную и связанную с вершиной пузыря системы координат. В лабораторной системе координат покоится жидкость на бесконечности, а в связанной покоится вершина пузыря. Введем важное обозначение

$$A = a \exp(-\eta_0). \quad (4.5)$$

Нетрудно видеть, что  $A$  является амплитудой Фурье в связанной системе координат, тогда как  $a$  — это амплитуда Фурье в лабораторной системе координат. Дифференцируя (4.5), находим

$$\dot{a} \exp(-\eta_0) = \dot{A} + \dot{\eta}_0 A. \quad (4.6)$$

Запишем кинематическое условие (2.1) в точке  $B$ . Это дает нулевой по  $\Delta$  порядок разложения (2.1) в точке  $x = y = 0$ . Из (2.1) и (4.4) имеем

$$\eta_t(x = 0, y = 0, t) = \varphi_z[x = 0, y = 0, z = \eta(0, 0, t), t], \quad \eta_t(0, 0, t) = \dot{\eta}_0(t).$$

Подставляя сюда вычисленную в п. 4.3 скорость  $w|$ , находим

$$(\dot{\eta}_0)_6 = A, \quad (4.7)$$

<sup>5)</sup> В седловых точках главные кривизны имеют разный знак.

<sup>6)</sup> В случае прямоугольного пузыря главные кривизны в вершинах  $B$  и  $J$  по величине различны и контур сечения поверхности  $\eta$  горизонтальной плоскостью является эллипсом, см. рис. 1.

$$(\dot{\eta}_0)_4 = A, \quad (4.8)$$

$$(\dot{\eta}_0)_3 = -A/2, \quad (4.9)$$

где формулы (4.7)–(4.9) относятся к случаям соответственно гексагона ( $A > 0$ ), квадрата ( $A > 0$ ) и треугольника ( $A < 0$ ). Подставляя (4.7)–(4.9) в (4.6), находим

$$[\dot{a} \exp(-\eta_0)]_6 = \dot{A} + A^2, \quad [\dot{a} \exp(-\eta_0)]_4 = \dot{A} + A^2, \quad [\dot{a} \exp(-\eta_0)]_3 = \dot{A} - A^2/2.$$

4.5. *Подстановка в краевые условия.* Выпишем потенциалы, скорости, их квадраты и производные. Потенциал ускорений на границе дается выражениями

$$(\varphi_t)_6 = -\dot{a} \frac{c + c^+ + c^-}{3} e^{-z},$$

$$(\varphi_t)_6| = -\dot{a} \exp(-\eta_0) \frac{c + c^+ + c^-}{3} e^{K\Delta/2} = -(\dot{A} + A^2) \left(1 - \frac{1 - 2K}{4} \Delta\right) \quad (4.10)$$

в случае гексагона,

$$(\varphi_t)_4 = -\dot{a} \frac{\cos x + \cos y}{2} e^{-z}, \quad (\varphi_t)_4| = -(\dot{A} + A^2) \left(1 - \frac{1 - 2K}{4} \Delta\right) \quad (4.11)$$

в случае квадрата и

$$(\varphi_t)_3 = \dot{a} \frac{c - \sqrt{3}s + c^+ + \sqrt{3}s^+ + c^- + \sqrt{3}s^-}{6} e^{-z},$$

$$(\varphi_t)_3| = \left(\dot{A} - \frac{A^2}{2}\right) \frac{c - \sqrt{3}s + \dots}{6} e^{K\Delta/2} = \left(\frac{\dot{A}}{2} - \frac{A^2}{4}\right) \left(1 - \frac{1 - 2K}{4} \Delta\right) \quad (4.12)$$

в случае треугольника.

Аналогично получаем

$$(\varphi_z)_6| = A \left(1 - \frac{1 - 2K}{4} \Delta\right), \quad (4.13)$$

выражение для  $(\varphi_z)_4|$  совпадает с (4.13),

$$(\varphi_z)_3| = -\frac{A}{2} \left(1 - \frac{1 - 2K}{4} \Delta\right), \quad (4.14)$$

$$(\varphi_x)_6| = (\varphi_x)_4| = Ax/2, \quad (\varphi_y)_6| = (\varphi_y)_4| = Ay/2, \quad (4.15)$$

$$(\varphi_x)_3| = -Ax/4, \quad (\varphi_y)_3| = -Ay/4. \quad (4.16)$$

Подставляя формулы (4.10)–(4.16) в краевые условия (2.1), (2.2), приходим к искомой динамической системе параболической модели. Система уравнений имеет вид

$$\dot{K} = \frac{1 - 4K}{2} W, \quad \dot{W} = -\frac{W^2 - 4gK}{2(1 - 2K)}. \quad (4.17)$$



В системе (4.17)  $W = \dot{\eta}_0$  — скорость подъема пузыря,  $K = 1/R$ ,  $R$  — радиус кривизны,  $g = 0$  при РМН,  $g = 1$  при РТН и  $g = -1$  в случае гравитационных волн (см. [15]). В случаях гексагона, квадрата и треугольника соответственно имеем  $W = A$ ,  $A$  и  $-A/2$ , см. формулы (4.7)–(4.9).

Видим, что система (4.17) оказывается универсальной, описывающей гексагональные, квадратные и треугольные решетки пузырей.

4.6. *Полный анализ системы.* В переменных  $W, K$  фазовое пространство системы (4.17) оказывается очень простым [15, 18]. В случае стоячих гравитационных 3D-волн ( $g = -1$ ) на плоскости  $W, K$  траектория  $W(t), K(t)$  — замкнутый контур. Обход контура соответствует одному периоду колебания волны. Интересно, что в течение одной половины периода решетка гребней волны — гексагональная, а в течение другой — треугольная.

В случаях РТН и РМН фазовое устройство исчерпывается одной стационарной точкой, которая является узлом. Все имеющие физический смысл траектории заканчиваются при  $t \rightarrow \infty$  в этом узле. Отсюда следует устойчивость решений в классе траекторий модели 1, разд. 1. В стационаре

$$K = 1/4, R_d = 4/k, W = 1, W_d = \sqrt{g/k} \tag{4.18}$$

при РТН<sup>7)</sup> (индексом  $d$  выделены размерные значения) и

$$K = 1/4, R_d = 4/k, W = 1/t, W_d = 1/kt \tag{4.19}$$

в случае РМН.

Особенно просто устроена система (4.17) при РМН. При  $g = 0$  она становится однородной и легко интегрируется. Если при РТН траектории существенно зависят от начальных данных, то при РМН имеется только одна независимая траектория. Остальные траектории, относящиеся к другим начальным данным, получаются из нее простым масштабированием. Точные интегралы системы (4.17) при  $g = 0$  имеют вид

$$\sqrt{\frac{1-2K}{1-4K}} - 1 - \frac{1}{\sqrt{2}} \ln \frac{\sqrt{2(1-2K)} + \sqrt{1-4K}}{\sqrt{2} + 1} = W_0 t, \tag{4.20}$$

$$\frac{W_0}{W} - 1 + \frac{1}{2\sqrt{2}} \ln \left( \frac{\sqrt{2} + 1}{\sqrt{2} - 1} \frac{\sqrt{2}W_0 - W}{\sqrt{2}W_0 + W} \right) = W_0 t. \tag{4.21}$$

Из формулы (4.21) легко вычислить смещение пузыря

$$\eta_0(t) = \int_0^t \dot{\eta}_0(\tau) d\tau = \int W(\tau) d\tau.$$

В [18] система (4.17), стационары (4.18), (4.19) и решения (4.20), (4.21) получены для случая квадратной решетки. Здесь этот подход распространен на еще две важные решетки. Система (4.17) и решения (4.20), (4.21) описывают переход из линейного в нелинейное стационарное состояние.

<sup>7)</sup> Стационарная точка (4.18), относящаяся к РТН, была вычислена ранее в работах [28, 29, 17, 18, 8] для случая квадратной решетки и в работе [8] для случая гексагональной решетки.

5. О РЕЛЬЕФЕ ГРАНИЧНОЙ ПОВЕРХНОСТИ

5.1. *Квадраты.* Рассмотрим последовательно квадратную ( $4m$ ), гексагональную ( $6m$ , п. 5.2) и прямоугольную ( $2m$ , п. 5.3) решетки. Начнем со случая  $4m$ . Пусть потенциал  $\varphi_4(x, y, z, t = 0)$  дается суммой двух волн (4.2) и  $\eta(x, y, 0) \equiv 0$ . Эволюция пространственной структуры поверхности  $\eta$  от линейной до нелинейной стадии прослежена на рис. 4. Представим рельеф поверхности  $\eta(x, y, t_{obs})$  с его «буграми» и «ямами». На линейной стадии ( $\eta \propto w | \approx w(x, y, z = 0, t)$ ) формы пузырей («бугров») и струй («ям») одинаковы.

Обсудим топографию срезов. Рассмотрим кривые (линии уровня), по которым пересекаются поверхность  $z = \eta(x, y, t)$  и горизонтальные плоскости  $z = h$ , где  $h$  — высота среза рельефа. Рассмотрим карту уровней. Непустые пересечения имеются при  $h_J < h < h_B$ , где  $h_B = \eta(2\pi n, 2\pi m, t) > 0$  и  $h_J = \eta[(2n + 1)\pi, (2m + 1)\pi, t] < 0$ ,  $n, m = 0, \pm 1, \dots$ . Уровни с  $h > h_J + \epsilon$  ( $0 < \epsilon \ll 1$ ) замкнуты вокруг точки  $J$ , а с  $h < h_B - \epsilon$  — вокруг точки  $B$ . По одному из таких замкнутых вокруг точек  $J$  и  $B$  контуров изображены на рис. 4а. Черточки выставлены в направлении роста  $h$ .

На линейной стадии пузыри и струи разбивают плоскость  $x, y$  на равные клетки (шахматная доска, рис. 4а). На черных клетках доски находятся струи (черточки наружу), а на белых — пузыри (черточки внутрь). При возрастании высоты  $h$  имеем  $J \rightarrow S \rightarrow B$ . Контурь вокруг вершины пузыря  $h_B$  сменяются на контурь вокруг вершины струи  $h_J$  при переходе через сепаратрисную сетку. Ее узлы — седла  $S$ . Сеть образуют сепаратрисы, соединяющие точки  $S$ .

На линейной стадии сепаратрисы, во-первых, прямолинейны и, во-вторых, проходят по нулевому уровню  $h = h_0 = 0$ . В этом проявляется «вырождение» квадратного случая на линейной стадии. Отметим, что структуры  $4m$  являются простейшими в ряду пространственных структур.

На нелинейной стадии снимается совпадение сепаратрис с уровнем  $h_0$ . Этого совпадения нет ни на линейной, ни (тем более) на нелинейной стадии в случае  $6m$ ,  $3m$  или  $2m$  решеток, см. п. 5.2, 5.3. В решетках  $6m$ ,  $4m$  и  $3m$  имеется один тип седла, см.

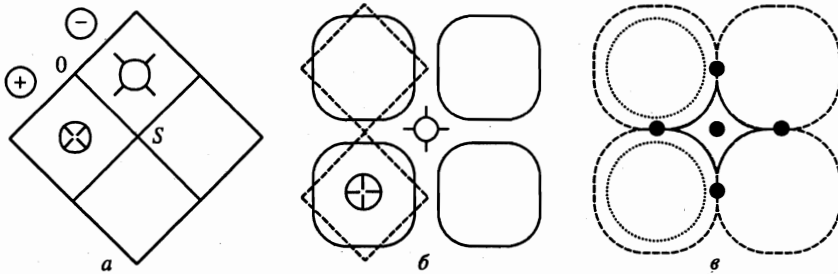


Рис. 4. Квадратная решетка. Уровни  $h = 0$  и  $z = h_s$  на линейной (а) и нелинейной (б, в) стадиях. а) Уровень  $h < 0$ , обозначенный кружком с черточками наружу, находится в квадрате со знаком минус. Прямые — сепаратрисная сетка. Она помечена нулем, поскольку на ней высота  $h = 0$ . Уровни  $h > 0$ , знак — плюс, черточки внутрь. б) Срезы  $h = 0$  на линейной (точки; перенесены с рис. а) и нелинейной (сплошные кривые без черточек) стадиях. в) Срезы  $h = 0$  (точки; перенесены с рис. б) и  $z = h_s$  (штриховые и сплошные кривые) на нелинейной стадии. Сепаратрисная сеть состоит из соединенных вместе в точках  $S$  четырехлучевых заостренных звезд, одна из которых обведена сплошной кривой

рис. 2, 4 и 3. В решетках  $2m$  таких типов два:  $S_s$  и  $S_w$ , см. рис. 1. Поэтому в этом случае сепаратрисная сеть обычно распадается на две системы параллельных цепочек: цепочки  $S_s$  (отрезки из сепаратрис  $S_s - S_s$  и седла  $S_s$ ) и цепочки  $S_w$ , см. п. 5.3.

Нелинейная стадия показана на рис. 4б, в. На ней формы пузырей и струй разные. Нулевой уровень  $h_0$  деформируется. Из квадрата, изображенного на рис. 4а сплошными прямыми, а на рис. 4б — точками, он превращается в скругленный контур, изображенный на рис. 4б сплошной кривой, а на рис. 4в — точками. Внутри этого контура высота  $h > 0$ . Это «положительная» площадь  $S^+$  — область подъема «вакуума». Вне контура  $h < 0$ . Это «отрицательная» площадь  $S^-$ , на которой жидкость опускается вниз. Отношение  $S^-/S^+ = 1$  на линейной стадии. На нелинейной стадии  $S^-/S^+ < 1$ .

Рассмотрим предел  $t \rightarrow \infty$ . Асимптотически пузырь удаляется в бесконечность от начального положения границы ( $h_B - h_0 \rightarrow \infty$ ). При этом отношение  $S^-/S^+ \rightarrow 0$ , а контур  $h_0$  прижимается к квадрату  $JJJJ$  (см. рис. 1 при  $q = 1$ ). Квадрат  $JJJJ$  является сечением трубы, по стенкам которой бегут стенкообразные или уплощенные струи. Видим, что происходит поворот квадрата на  $45^\circ$ . При  $t = 0$  квадраты  $h = 0$  расположены косо, см. рис. 4а. Их стороны параллельны биссектрисам углов между осями  $x$  и  $y$ . При  $t = \infty$  стороны квадратов  $h = 0$  параллельны осям  $x$  и  $y$ .

На нелинейной стадии сепаратрисы  $S \rightarrow S$  теряют прямолинейность. Они показаны на рис. 4б, в сплошными (центральная звезда) и штриховыми кривыми. Точки на концах звезд являются седлами  $S$ . Центр звезды — вершина струи  $J$ . С течением времени угол пересечения сепаратрис становится все более острым. При  $t \rightarrow \infty$  уровень  $h_s \rightarrow -\infty$  (отношение плотностей  $\mu = 0$ ). При этом звезда стягивается в крест из отрезков  $JS$ .

Характерные уровни расположены в порядке  $h_J < h_s < h_0 < h_B$ . Контур среза  $h = 0$  (точки, рис. 4в) располагается внутри контура  $h_s$  (штриховые и сплошные кривые).

Сопоставим рис. 4 и рис. 1 при  $q = 1$ , когда седла  $S_s$  и  $S_w$  одинаковы. На рис. 1 и 4 дан вид сверху (в плоскости  $x, y$ ). Кроме того, на рис. 1 приведен вид сбоку (в плоскости, проходящей через ось  $z$ ), важный для понимания пространственной структуры течения. На боковом плане течения показаны точки  $J$  и  $S$  движущейся вниз арки  $JSJ$  и проекция на плоскость  $JJ$  движущейся вверх точки  $B$ . Плоскости  $JJ$  являются плоскостями симметрии или боковыми стенками труб, ограничивающих ячейку течения. Дуга  $JS$  (плоская кривая; половина арки  $JSJ$ ) лежит в пересечении стенкообразной струи и плоскости  $JJ$ . Она — нижний край смоченной части стенки трубы. На горизонтальном плане она представляется отрезком  $JS$ .

Для пространственной ориентации представим два варианта подъема из точки  $J$  в точку  $B$  по поверхности  $\eta$ . В первом варианте подъем происходит по арке  $JB$ , проекцией которой на плоскость  $x, y$  является отрезок  $JB$ . Во втором варианте подъем осуществляется в два этапа. На первом поднимаемся из  $J$  в  $S$  по дуге  $JS$ , а на втором переходим из  $S$  в  $B$  по дуге  $SB$ . Проекции этих дуг на плоскость  $x, y$  перпендикулярны друг другу, см. рис. 1. Вместе указанные отрезки образуют треугольник  $JBS$ .

5.2. Гексагоны. В разд. 7 проведен сравнительный анализ решеток  $6m$ ,  $4m$  и  $3m$ . Оказывается, случай  $6m$  выделен<sup>8)</sup>. В связи с этим остановимся на нем.

<sup>8)</sup> В нем в вершину струи  $J$  сходится минимально возможное число симметричных стенок (три). Именно это обстоятельство выделяет решетку  $6m$  пузырей. Сами пузыри в решетке  $6m$  мало отличаются от пузырей в решетке  $4m$ .

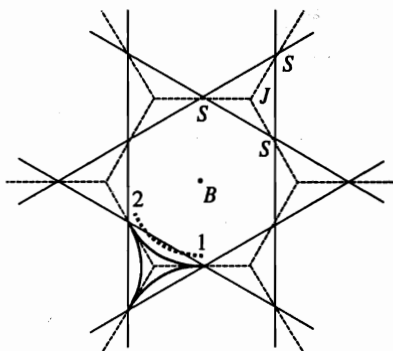


Рис. 5. Уровни гексагональной поверхности  $\eta$ . На линейной стадии область  $h < h_s$  ограничена треугольником  $SSS$ , составленным из прямых сепаратрис. На нелинейной стадии сепаратрисы становятся кривыми и треугольник превращается в трехлучевую звезду. Шестерка звезд окружает каждый пузырек  $B$

Пусть  $\eta(x, y, 0) \equiv 0$  и потенциал  $\varphi_6(x, y, z, 0)$  дается суммой трех волн (4.1). Как и в п. 5.1, рассмотрим характерные уровни  $h_J$ ,  $h_s$ ,  $h_0$  и  $h_B$ . На линейной и нелинейной стадиях имеем  $h_s < h_0$ . Используя тригонометрические формулы сложения косинусов, нетрудно показать, что на линейной стадии, когда  $h \propto |w|$  и скорость  $w$  определяется только линейной комбинацией гармоник (4.1), сетка сепаратрис  $S - S$  состоит из прямых. Они показаны сплошными линиями на рис. 5. Сетка образуется из равносторонних треугольников  $SSS$  с центрами в точках  $J$ . Шесть треугольников сплетаются в венки вокруг вершины  $B$ .

На нелинейной стадии сепаратрисы  $S - S$  искривляются. Вокруг вершин  $J$  образуются трехлучевые звезды с острыми концами. При  $t \rightarrow \infty$  уровень  $h = 0$ , шестая часть контура которого при  $t \neq \infty$  показана дугой 1-2 на рис. 5, прижимается к стенкам трубы, составленной из плоскостей  $JJ$ . Они даны на рис. 5 штриховыми прямыми. При  $t = \infty$  лучи звезды вырождаются в отрезки  $JS$ .

По стенкам  $JJ$  трубы спускаются струи. Из-за растекания в плоскости стенки они уплощаются (уплощенные, стенкообразные или пристеночные струи). В углах трубы струи сильнее. Из-за этого на дугах  $JS$  глубина погружения точек  $J$  наибольшая. Степень возвышения угловых струй  $J$  над «стенкой» характеризуется отношением

$$\zeta = (h_J - h_s)/h_J. \quad (5.1)$$

В стенкообразном случае оно мало. В случае пальцеобразной струи  $J$  это отношение больше.

Сравним топологию струй решеток  $6m$  (рис. 2, 5) и  $3m$  (рис. 3). В решетке  $6m$  выделенность угловых струй  $J$  над стенкой  $JS$  невелика, отношение (5.1) мало. Соответственно, пузыри решетки  $6m$  хорошо изолированы друг от друга разделяющими их стенками  $JS$  по всему периметру пузыря.

В решетке  $3m$  ситуация обратная. Пузыри изолированы друг от друга хуже. Разделяющие их стенки по направлениям  $BSB$  через седло относительно невысоки, а вот выделенность угловых струй  $J$  существенно больше. Поэтому отношение  $\zeta$  (5.1) довольно велико. Образуется решетка мощных пальцеобразных струй  $J$ .

В этом состоит специфика решетки  $3m$ . В ней имеет место усиленная фокусировка струй. Струи порождают пузыри. В решетке  $3m$  шесть пузырей, расположенных кружком вокруг одной струи  $J$ , «питают» эту струю и делают ее мощной.

Сравним подъемы из точки  $J$  в точку  $B$  через седло  $S$ . В случае  $6m$  разность высот точек  $B$  и  $J$  равна  $(z_B - z_s) + \Delta z^{J3}$ . В случае  $3m$  эта же разность равна  $(z_B - z_s) + \Delta z^{J6}$ , где

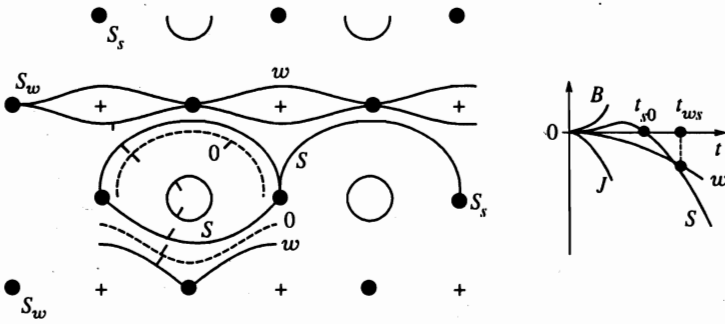


Рис. 6. Карта уровней  $\eta$  решетки  $2m$ . Цепочечная структура сепаратрис  $S_s - S_s$ ,  $S_w - S_w$ . Сепаратрисы  $S_s - S_w$ , которые объединяли бы цепочки в сеть, отсутствуют. Кружки — пузыри, кресты — вершины струй, 0 — нулевой уровень,  $s$  — сепаратрисы  $S_s - S_s$ ,  $w$  —  $S_w - S_w$ . Черточки на уровнях выставлены в направлении роста  $h$ . На графике справа — зависимости от  $t$  позиций характерных точек при РТН

отрезки  $\Delta z^{J3}$  и  $\Delta z^{J6}$  определены на рис. 2 и 3, цифры 3 и 6 в индексах  $J3$  и  $J6$  указывают, сколько плоскостей симметрии сходится в точке  $J$ . Разность  $\Delta z^{J3}$  меньше, чем  $\Delta z^{J6}$ . Поэтому, как сказано, в  $6m$  решетке струи стенкообразны, а в случае  $3m$  формируется система мощных пальцеобразных струй. В разд. 7 показано, что пересечение более чем трех стенкообразных струй маловероятно. Поэтому в  $3D$ -течениях в отношении струй основным является тип трехлучевой звезды, показанной на рис. 5, см. также рис. 2.

5.3. Прямоугольники. Структура решеток  $2m$  существенно сложнее рассмотренных выше высокосимметричных случаев. Это вызвано расщеплением седел на два типа и увеличением числа характерных точек. Из-за расщепления сетчатые сепаратрисные диаграммы уступают место полосатым.

Пусть  $\eta(x, y, 0) \equiv 0$ , а потенциал в начальный момент дается суммой двух гармоник и имеет вид

$$\varphi(x, y, z, t = 0) = -\frac{a(0)}{2} \cos x e^{-z} - \frac{b(0)}{2q} \cos qy e^{-qz}, \tag{5.2}$$

где  $a = a_{10}$ ,  $b = a_{01}$ , ср. с формулами (3.1) и (4.2). Пусть для определенности  $a(0)/b(0) = 1$  и  $q > 1$ . Структура поверхности  $\eta$  при  $t > 0$  показана на рис. 6. На рис. 6 направление по  $y$  растянуто в  $q$  раз, ср. с рис. 1.

Законы роста возмущения со временем разные в случаях РТН и РМН. Рассмотрим их по отдельности. Начнем с РТН. Существенно то, что длины волн гармоник (5.2) различны. Этим потенциал решетки  $2m$  отличается от более симметричных потенциалов (4.1)–(4.3). На линейной стадии волна по  $y$  усиливается быстрее, поскольку  $a(t) = a(0)e^t$ ,  $b(t) = b(0)e^{\sqrt{q}t}$ . Напомним, что при РТН выбирается нормировка  $k = 1, g = 1$  и что  $2\varphi(x, y, z, t) = -a(t)c_x e^{-z} - b(t)c_{qy} e^{-qz}$ . Поэтому уже на линейной стадии сепаратрисная диаграмма с клетками, которые связывали бы в сеть седла  $S_s$  и  $S_w$ , отсутствует. Вместо сети возникают сепаратрисные цепочки  $w$  ( $S_w - S_w$ ) и  $s$  ( $S_s - S_s$ ), см. рис. 6.

В процессе движения положение точек  $S_s$  (кривая  $s$ , см. график на рис. 6) и  $S_w$  (кривая  $w$ ) относительно друг друга и относительно уровня  $z = 0$  меняется. Иерархии высот имеют вид:  $h_{sw} < 0 < h_{ss}$  при  $0 < t < t_{s0}$ ,  $h_{sw} < h_{ss} < 0$  при  $t_{s0} < t < t_{ws}$ , и  $h_{ss} < h_{sw} < 0$  при  $t > t_{ws}$ , где индексы  $sw$  и  $ss$  относятся к седлам  $S_w$  и  $S_s$ . На нижней

половине рис. 6 показаны уровни  $h_{sw} < h_0 < h_{ss}$  (кривые  $w, 0$  и  $s$ ), относящиеся к этапу  $0 < t < t_{s0}$ . На верхней половине изображен следующий этап, когда эти уровни расположены в порядке  $0, s, w$ .

Если заштриховать площадки на плоскости  $x, y$ , внутри которых  $h < h_{sw}$ , то получится система разделенных полосок, тянущихся параллельно оси  $x$ . На заключительном этапе,  $t > t_{ws}$ , нижним становится уровень  $S_s$ . При этом ориентация полос меняется с параллельной оси  $x$  на параллельную оси  $y$ .

На заключительном этапе доминирует движение, связанное с более длинной стороной прямоугольника (см. рис. 1; поскольку  $q > 1$ , это сторона  $x$ ). Основной расход жидкости происходит через пристеночные струи, параллельные оси  $y$ , опускающиеся по стенкам  $JS_sJ$ . При этом  $R_x > R_y$ , где  $R_x, R_y$  — радиусы кривизны в вершине  $B$  по осям  $x$  и  $y$ . Перенесем контур уровня  $h_0$  из верхней половины рис. 6 в прямоугольник  $JJJJ$  на рис. 1. Обозначим через  $\Delta_x$  и  $\Delta_y$  расстояния от этого уровня соответственно до точек  $S_w$  и  $S_s$ . Зазоры  $2\Delta_x$  и  $2\Delta_y$  характеризуют толщину пристеночных струй, бегущих по стенкам  $JS_wJ$  и  $JS_sJ$ . Доминирование струй  $JS_sJ$  означает, что  $\Delta_x < \Delta_y$ .

Из анализа прямоугольных решеток ясно, как изменяется течение при переходе от  $3D$ - к  $2D$ -случаю. При  $q \rightarrow \infty$  прямоугольник становится похожим на щель (рис. 1), в которой поперечные составляющие движения в основном направлены по оси  $x$ .

Рассмотрим РМН. Если пренебречь отличием  $a(t)$  от  $b(t)$  на начальном этапе, то сепаратрисная диаграмма имеет вид сетки. Она аналогична показанной на рис. 4а. В  $2D$ -геометрии скорость вершины струи  $\eta_J$  возрастает от начального значения  $a(0)$  до примерно в два раза большего. Не совсем ясно, как идет конкуренция смещений  $h_{sw}(t)$  и  $h_{ss}(t)$  при РМН. В любом случае эти функции не равны и вместо сети  $S_s - S_w$  образуется полосатая структура. Подчеркнем, что вынос массы струями происходит в основном, как и при РТН, в струях  $JS_sJ$ .

## 6. СРАВНЕНИЕ ТЕОРИИ И ЧИСЛЕННОГО МОДЕЛИРОВАНИЯ

6.1. *Численный метод.* Интегрировалась полная система уравнений Эйлера сжимаемой невязкой среды, записанная в дивергентной форме [37, 38]. Использовалась квазимонотонная сеточно-характеристическая схема второго порядка аппроксимации. Монотонность усилена комбинацией схем с центральными и ориентированными разностями. Аналогичный гибридный метод был разработан для численного моделирования течений несжимаемой жидкости [39]. В расчетной схеме не используются ни искусственная вязкость, ни сглаживание, ни процедуры ограничения потока. Схема имеет такие полезные качества как консервативность, монотонность и повышенный порядок аппроксимации. Требование монотонности обеспечивает нелинейную диссипацию, сглаживающую коротковолновые возмущения с длиной волны порядка нескольких шагов сетки. Область интегрирования имеет форму прямоугольного параллелепипеда, на боковых сторонах которого выполняются условия симметрии, а на нижней и верхней границах — условия непротекания.

6.2. *РТН.* На рис. 7–9 представлены результаты расчета РТН. Считалась четверть полного периода течения в ящике  $\pi \times \pi \times 7\pi$  на сетке  $30 \times 30 \times 210$ . На рис. 7 изображен полный период. Начальное положение границы совпадает с плоскостью  $z = 0$  (рис. 7), делящей ящик по высоте в отношении 3:4. Отношение плотностей нижней и верхней жидкостей  $\mu = 1/10$ , нормировка  $g = 1, k = 1$ . Начальное возмущение давалось

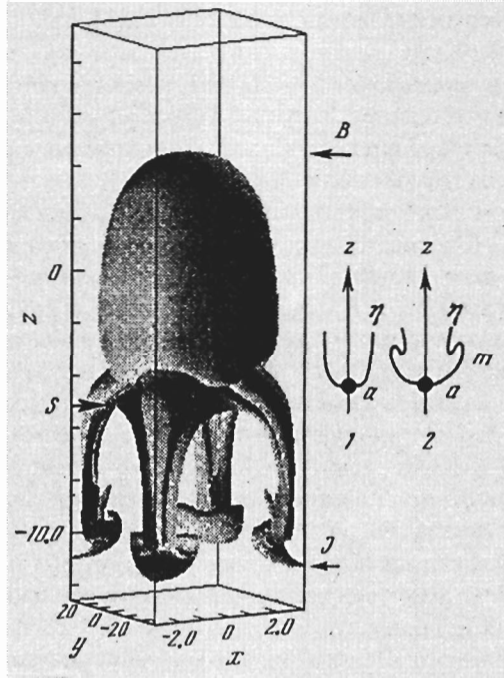


Рис. 7. Форма границы раздела в случае квадратной решетки пузырей на момент  $t = 9$ . Стрелками отмечены седло  $S$  и вершины  $B, J$ . Справа — схема формирования грибовидного образования

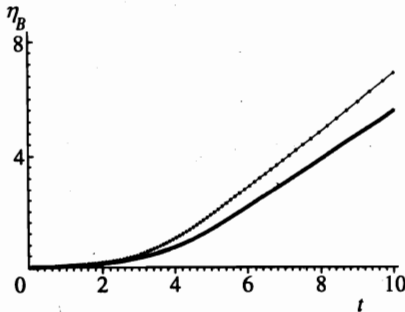


Рис. 8. Зависимости  $\eta_B(t)$ . Тонкая кривая с маркерами — теория разд. 4, жирная кривая — моделирование

формулой (4.2) с  $a(0) = 0.05$ .

Смещение пузыря  $\eta_B(t)$  показано на рис. 8. Видно, что устанавливается режим с постоянной скоростью подъема пузыря. В численном эксперименте предельная скорость равна  $w_{cs}(\infty) = 0.83$ , что составляет примерно 90% от теоретической скорости (4.18), подправленной на фактор  $\sqrt{1-\mu}$ , учитывающий конечную плотность легкой жидкости [6, 40]. На рис. 9 вычерчены теоретическая и численная зависимости радиуса кривизны  $R(t) = 1/K(t)$ . Как видим, теория и моделирование удовлетворительно

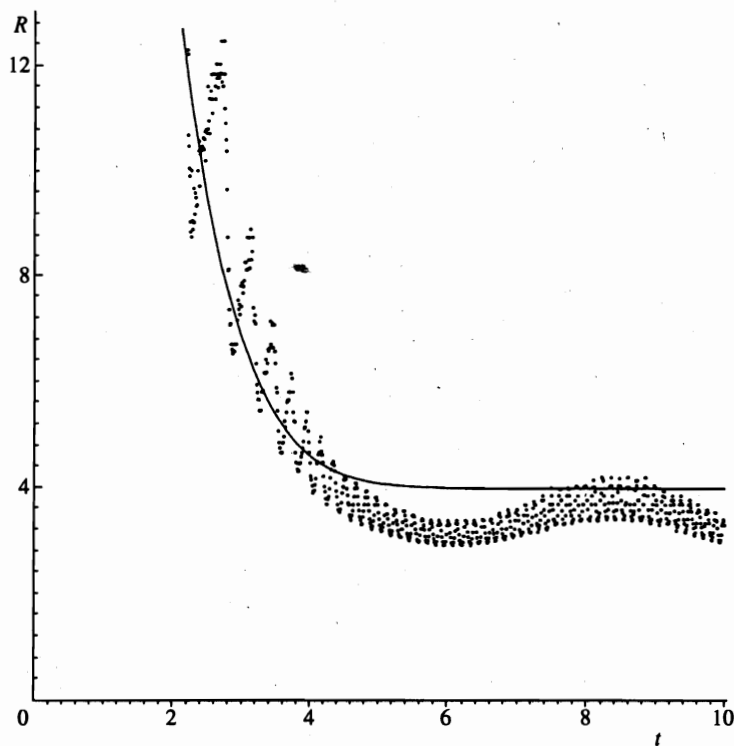


Рис. 9. Зависимости  $R(t)$ . Сплошная кривая — расчет системы (4.17), маркеры — численное моделирование

согласуются.

6.3. *РМН*. На рис. 10 и 11 показаны результаты в случае РМН ( $g = 0$ ). Геометрические размеры и отношение  $\mu$  были такими же, как в п. 6.2. Начальное возмущение давалось формулой (4.2) с  $a(0) = 1$ . Как видим, результаты по скорости (а значит и по смещению) согласуются хорошо. Описания процесса искривления поверхности пузыря (зависимости  $K(t)$ ) согласуются удовлетворительно. При численном моделировании кривизна пузыря на больших временах несколько больше расчетной.

6.4. *Роль отношения плотностей*. Развита в п. 4 и 5 теория относится к случаю  $\mu = 0$ . Посмотрим, что изменится при  $\mu \ll 1$ . Практически не меняется форма пузырей [18]. Скорость их движения меняется мало [6, 40]. В то же время имеется качественная деталь, исчезающая при  $\mu = 0$ . Это грибовидные образования.

При РТН в струях падающее вещество разгоняется до высоких скоростей (поэтому струи узки). В результате достигаются скорости, при которых становится важным влияние аэродинамического сопротивления со стороны легкой жидкости на продвижение вершины струи. Аэродинамический напор легкой жидкости приводит к формированию грибов. Этот вопрос исследован в работе [40] для случая  $2D$ -геометрии с помощью конформных преобразований и метода годографа. Напор легкой жидкости является причиной образования грибовидных струй и при РМН.

Образование грибов является следствием торможения тяжелой жидкости напором



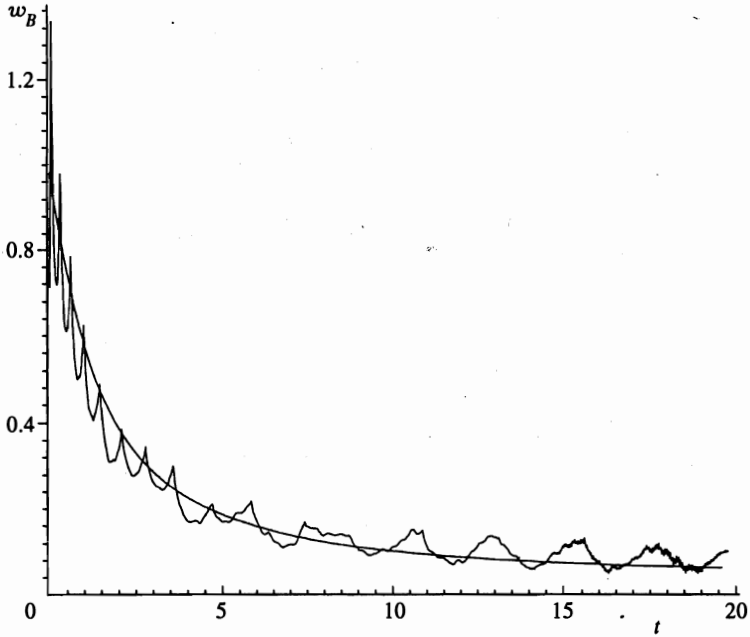


Рис. 10. Зависимости скорости пузыря  $w_B(t)$ . Плавная кривая — интеграл (4.21), флуктуирующая кривая — моделирование

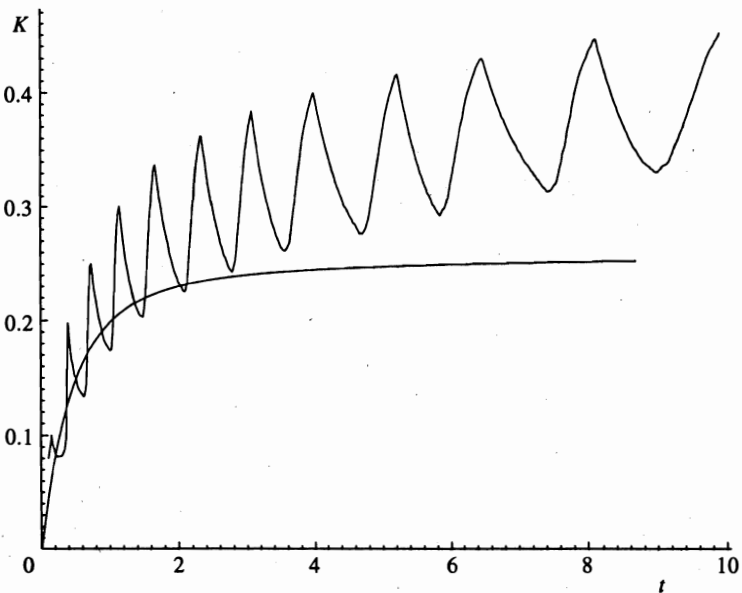


Рис. 11. Зависимости кривизны пузыря  $K(t)$ . Плавная кривая — интеграл (4.20), осциллирующая кривая — моделирование

легкой. Зона торможения локализована возле точки разделения потока легкой жидкости струей тяжелой [40]. Вершина струи есть точка разделения. Гриб формируется, когда струя становится достаточно тонкой и набирает достаточно большую скорость. Струя тонка там, где мал радиус кривизны  $R$ . При  $\mu = 0$  радиус  $R$  минимален в вершине струи.

Так же обстоит дело и в  $3D$ -геометрии. Теперь «тонкой быстрой» зоной является полоска вдоль арки  $JSJ$ , см. разд. 5. Здесь велика скорость движения легкой жидкости навстречу арке и мал радиус кривизны поверхности  $\eta$  в направлении, перпендикулярном плоскости арки. На арке происходит разделение потока легкой жидкости. Обтекание ею арки приводит к формированию полоскообразного грибовидного образования вдоль всей арки.

Рассмотрим сечение арки и следующей за ней пристеночной струи плоскостью  $P$ , перпендикулярной арке. Оно показано справа на рис. 7. Здесь  $a$  — точка пересечения плоскости  $P$  и арки  $JSJ$ ,  $a\eta$  — кривая пересечения плоскости  $P$  и поверхности  $\eta$ ,  $az$  — плоскость стенки, по которой спускается пристеночная струя. Сечение 1 относится к случаю  $\mu = 0$ , сечение 2 — к случаю  $\mu > 0$ . При  $\mu > 0$  образуется гриб  $m$ , аналогично тому как это происходит в  $2D$ -геометрии [40].

Дуга шляпки гриба  $am$  прочерчивает желобок вдоль арки  $JSJ$  при движении точки  $a$  вдоль арки. В случае решетки  $4m$  четыре таких желобка спускаются к вершине  $J$  с четырех сторон. В горизонтальном сечении эти желобки располагаются возле концов четырехлучевой звезды, показанной на рис. 4в. Желобки оканчиваются около тороидального гриба, которым увенчана вершина  $J$ . Таким образом, ситуация довольно далека от картины струи, осесимметричной относительно вертикали, проходящей через вершину  $J$ .

Желобки и тор хорошо просматриваются на рис. 7. Грибовидное образование начинается около седла  $S$  и тянется в виде желобка к вершине  $J$ . Желобки, как и должно быть, прилегают к стенке «трубы» (к границе расчетной области), поскольку арка  $JSJ$  лежит в плоскости этой стенки.

## 7. СРАВНЕНИЕ РЕШЕТОК

Сравним решетки  $6m$ ,  $4m$  и  $3m$ . Разложим их потенциалы по комбинациям единичных волновых векторов и их обертонам (3.1), (3.2). Тогда в параболическом приближении (разд. 4) скорости подъема пузырей в решетках  $6m$ ,  $4m$  и  $3m$  одинаковы как при РТН, так и при РМН. При РТН получается, что как линейная стадия (равенство инкрементов при  $k = 1$ ), так и весь процесс перехода (система (4.17)) у этих решеток одинаковы. Линейная стадия РМН определяется не только волновыми векторами, но и начальными скоростями. Если стартовать с плоской границы и выбрать равные начальные скорости, то, как и при РТН, и линейная, и нелинейная стадии будут одинаковыми во всех трех решетках. Это следует из результатов п. 4.5, 4.6.

Сравним решетки в другом отношении. При одинаковом волновом числе  $k$  в решетках  $6m$ ,  $4m$  и  $3m$  на один пузырь в плоскости  $x, y$  приходится площадка площадью соответственно

$$S_6 = \frac{8\pi^2}{\sqrt{3}k^2}, \quad S_4 = \frac{4\pi^2}{k^2}, \quad S_3 = \frac{4\pi^2}{\sqrt{3}k^2},$$

см. рис. 1–3. Эти площади не равны,  $S_6 : S_4 : S_3 = (2/\sqrt{3}) : 1 : (1/\sqrt{3}) \approx 1.15 : 1 : 0.577$ . Существенно то, что площадь треугольной ячейки значительно отличается от примерно равных площадей квадратной и гексагональной ячеек.

Потребуем, чтобы в сравниваемых решетках площади пузырей были одинаковыми (условие равного числа пузырей на единицу площади). Тогда волновые числа относятся как

$$k_6 : k_4 : k_3 = \sqrt{\frac{S_6}{S_4}} : 1 : \sqrt{\frac{S_3}{S_4}} = \frac{\sqrt{2}}{3^{1/4}} : 1 : \frac{1}{3^{1/4}} \approx 1.07 : 1 : 0.76.$$

При этом  $\lambda_6 : \lambda_4 : \lambda_3 = k_6^{-1} : k_4^{-1} : k_3^{-1} \approx 0.93 : 1 : 1.3$ . В таком же отношении находятся радиусы  $R_6$ ,  $R_4$  и  $R_3$  при РТН и РМН. По темпу переходного процесса решетки располагаются в порядке 6, 4, 3, т. е. медленнее всего протекает переход в треугольной решетке. Зато предельная скорость пузырей в решетке  $3m$  наибольшая. Эти скорости относятся как

$$\begin{aligned} w_6 : w_4 : w_3 &= (S_4/S_6)^{1/4} : 1 : (S_4/S_3)^{1/4} = \sqrt{\lambda_6} : \sqrt{\lambda_4} : \sqrt{\lambda_3} = \\ &= (3^{1/8}/2^{1/4}) : 1 : 3^{1/8} \approx 0.97 : 1 : 1.15 \end{aligned}$$

при РТН (4.18) и как  $\lambda_6 : \lambda_4 : \lambda_3$  при РМН (4.19).

Сравнивая результаты, приходим к выводу о том, что решетки  $6m$  и  $4m$  пузырей примерно эквивалентны (различие в предельной скорости не превышает нескольких процентов), а решетка  $3m$  стоит особняком. Ей соответствует самая мощная система струй  $J$  (п. 5.2), а скорости пузырей превышают скорости в других решетках на 15% в случае РТН и на 30% в случае РМН.

## 8. ВЫДЕЛЕННОСТЬ ТРЕХЛУЧЕВЫХ СТРУЙ

Выше рассмотрена  $3D$ -структура поверхности  $\eta$ . Ее основные элементы — пузыри и струи. Пузыри округлы и изолированы, а струи состоят из протяженных участков (пристеночных или стенкообразных струй), образующих сеть, и узлов, в которых пересекаются стенкообразные струи. Тип периодичности определяет число стенкообразных струй  $N_r$ , пересекающихся в узле, и отношение числа пузырей к числу струй  $N_B/N_J$ .

Рассмотрим случайную поверхность, возникающую при  $3D$ -турбулентности. Структурно она состоит из тех же элементов (изолированных пузырей, стенкообразных и узловых струй, см. рис. 12). Правда, дальний порядок уступает место ближнему, как это имеет место при переходе от кристалла к жидкости. Посмотрим, чему равно число  $N_r$ . Это позволит выяснить, к какой из решеток топологически ближе случайная поверхность.

Довольно ясно, что преобладают узлы с  $N_r = 3$ . Действительно, любой пузырь стеснен соседями. Смежные пузыри разделены границей — стенкообразной струей. Ее положение определяется в основном двумя соседями, например, пузырями 1 и 2, см. рис. 12. Пойдем вдоль границы. В некоторой точке станет существенным влияние третьего соседа. Здесь граница, разделявшая пузыри 1 и 2, разветвится. Одна ветвь пойдет между пузырями 1 и 3, а другая — между пузырями 2 и 3. Поэтому типично значение  $N_r = 3$ . При этом отношение  $N_B/N_J$  находится между величинами 0.5 и 1, соответствующими решеткам  $6m$  и  $4m$  пузырей.

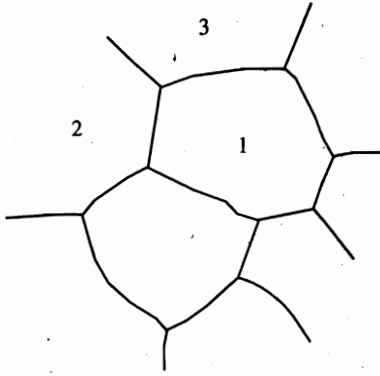


Рис. 12. Случайная совокупность пузырей. Каждый пузырь ограничен стенкообразной струей. Типичными являются узлы с  $N_r = 3$

## 9. ПАРАБОЛИЧЕСКОЕ ОПИСАНИЕ ПРЯМОУГОЛЬНОЙ РЕШЕТКИ. ЧЕТЫРЕХМЕРНОЕ ФАЗОВОЕ ПРОСТРАНСТВО

9.1. *Потенциал и граница.* Применим модель Лэйцера к решетке  $2m$ . Оборванный на двух гармониках потенциал (3.1) (см. также п. 5.3 и формулу (5.2)) имеет вид

$$\varphi(x, y, z, t) = -\frac{\hat{a}(t)}{2} \cos x e^{-z} - \frac{\hat{b}(t)}{2q} \cos qx e^{-qz}, \quad (9.1)$$

разложение границы в вершине пузыря<sup>9)</sup> имеет вид

$$\eta(x, y, t) = \eta_0(t) - \frac{Kx^2}{2} - \frac{Qy^2}{2}.$$

9.2. *Разложения.* Будем действовать как в п. 4.2–4.4. Теперь координаты  $x^2, y^2$  входят в выражения по отдельности, а не в виде суммы (4.4). Вычислим  $\varphi_t|, u|, v|, w|$  и  $\eta_x, \eta_y$ . Приведем наиболее существенные моменты. Продифференцируем (9.1) по  $t$ . Рассмотрим  $\varphi_t$  на границе. Имеем

$$\varphi_t| = -\frac{d\hat{a}}{dt} \exp(-\eta_0) \frac{\cos x}{2} e^{-\Delta\eta} - \frac{d\hat{b}}{dt} \exp(-q\eta_0) \frac{\cos qy}{2q} e^{-q\Delta\eta}, \quad (9.2)$$

где  $\Delta\eta = \eta - \eta_0 = -(Kx^2 + Qy^2)/2$ . Введем обозначения

$$A(t) = \hat{a}(t) \exp[-\eta_0(t)], \quad B(t) = \hat{b}(t) \exp[-q\eta_0(t)]. \quad (9.3)$$

Заменим производные  $d\hat{a}/dt, d\hat{b}/dt$  в (9.2) через  $\dot{A}, \dot{B}$ . Для этого продифференцируем (9.3). Имеем

$$\frac{d\hat{a}}{dt} \exp(-\eta_0) = \dot{A} + A\dot{\eta}_0, \quad \frac{d\hat{b}}{dt} \exp(-q\eta_0) = \dot{B} + qB\dot{\eta}_0. \quad (9.4)$$

<sup>9)</sup> Можно применить данный подход также к вершине  $J$  и седлам  $S_s, S_w$ , см. п. 5.3. В этих точках, также как в точке  $B$ , линейные члены выпадают и разложение границы  $\eta$  начинается с квадратичных членов.

Вычислим  $\dot{\eta}_0$ . С этой целью запишем кинематическое условие (2.1) в вершине. Имеем  $\eta_t = \dot{\eta}_0 = w$ . Подставляя (9.1), получаем

$$\dot{\eta}_0 = (A + B)/2. \tag{9.5}$$

Подставляя (9.5) в (9.4), находим

$$\frac{d\hat{a}}{dt} \exp(-\eta_0) = \frac{2\dot{A} + A^2 + AB}{2}, \quad \frac{d\hat{b}}{dt} \exp(-q\eta_0) = \frac{2\dot{B} + qAB + qB^2}{2}. \tag{9.6}$$

Разлагая (9.2) по малым  $x^2, y^2$ , с учетом (9.6) находим

$$\varphi_t| = -\frac{2\dot{A} + A^2 + AB}{4} \frac{(K-1)x^2 + Qy^2}{2} - \frac{2\dot{B} + qAB + qB^2}{4q} \frac{qKx^2 + q(Q-q)y^2}{2}.$$

Несущественные однородные по  $x, y$  функции  $t$  опущены.

Аналогично

$$\varphi_z| = \frac{A+B}{2} + \frac{(KA - A + qKB)x^2 + (QA + qQB - q^2B)y^2}{4}.$$

9.3. *Краевые условия и динамическая система.* Подставляя разложения п. 9.2 в краевые условия (2.1), (2.2), приходим к четырехмерной динамической системе

$$\dot{K} = (1 - 3K)a - qKb, \tag{9.7}$$

$$\dot{Q} = -Qa + q(q - 3Q)b, \tag{9.8}$$

$$(1 - K)\dot{a} - K\dot{b} = -a^2 + gK, \tag{9.9}$$

$$-Q\dot{a} + (q - Q)\dot{b} = -q^2b^2 + gQ \tag{9.10}$$

для неизвестных  $K, Q$  и амплитуды  $a = A/2, b = B/2$ . При  $Q = 0, b = 0$  или  $K = 0, a = 0$  возвращаемся к плоской (2D) системе [13, 15], а при  $q = 1, K = Q, a = b$  к системе (4.17). Перекрестными членами, связанными с взаимодействием волн по  $x$  и  $y$  направлениям, являются  $qKb$  в (9.7) и  $Kb$  в (9.9).

Отметим симметрию  $x \leftrightarrow y$ . Запишем  $\varphi, \eta$  при произвольном волновом числе  $k$ . Потенциал имеет вид

$$\varphi = -\frac{\hat{a}}{2k} \cos kx e^{-kz} - \frac{\hat{b}}{2qk} \cos qkx e^{-qkz}.$$

Выведем уравнения системы. При инверсии  $k \rightarrow qk, q \rightarrow 1/q$  (поворот прямоугольника на  $90^\circ$ ) уравнения остаются инвариантными при замене  $K \rightarrow Q, Q \rightarrow K$  и  $a \rightarrow b, b \rightarrow a$  (смена осей).

Система (9.7)–(9.10) допускает полное исследование. Ее фазовое пространство аналогично пространству системы (4.17). Опять имеется единственный узел, захватывающий все имеющие физический смысл траектории. Покажем это.

9.4. РТН. Пусть  $g = 1$ . Найдем стационарное решение. Положим  $\dot{K} = \dot{Q} = \dot{a} = \dot{b} = 0$ . Исключим неизвестные  $a > 0, b > 0$  с помощью уравнений (9.9), (9.10) и  $Q$  с помощью уравнений (9.7), (9.8). В результате приходим к уравнению для  $K$ . Оно имеет вид

$$8K^2 - [6 + (q - 1)/3]K + 1 = 0.$$

Сопоставляя со случаем квадрата  $q = 1$ , находим, что физический смысл имеет только корень

$$K_0(q) = (q + 17 - r)/48, \quad r = +\sqrt{q^2 + 34q + 1}. \quad (9.11)$$

Остальные искомые функции даются выражениями

$$Q_0(q) = \frac{q-1}{3} + K_0(q), \quad a_0(q) = +\sqrt{K_0(q)}, \quad b_0(q) = +\frac{\sqrt{Q_0(q)}}{q}. \quad (9.12)$$

Стационар (9.11), (9.12) единственный в имеющей физический смысл области.

Исследуем устойчивость<sup>10)</sup>. Линеаризуем систему (9.7)–(9.10) около стационара

$$K = K_0 + \delta K e^{\lambda t}, \quad Q = Q_0 + \delta Q e^{\lambda t}, \quad a = a_0 + \delta a e^{\lambda t}, \quad b = b_0 + \delta b e^{\lambda t}.$$

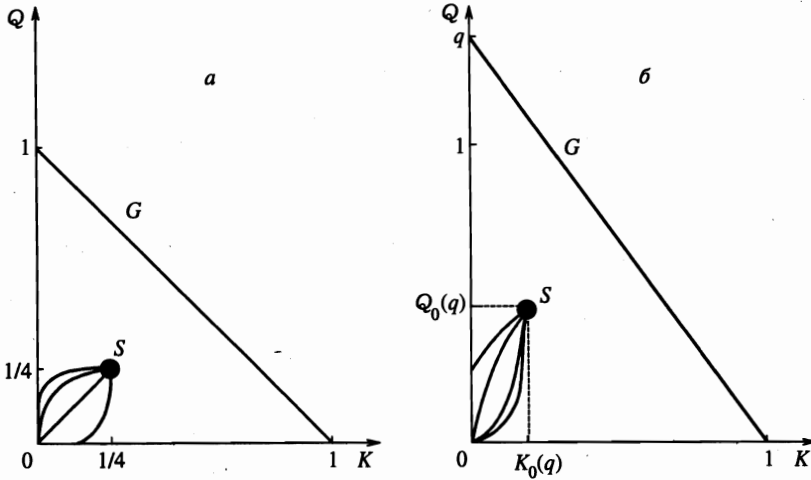
Линеаризация приводит к матрице

$-\lambda - 3a_0 - qb_0$	0	$1 - 3K_0$	$-qK_0$
0	$-\lambda - a_0 - 3qb_0$	$-Q_0$	$q^2 - 3qQ_0$
1	0	$-(1 - K_0)\lambda - 2a_0$	$K_0\lambda$
0	1	$Q_0\lambda$	$-(q - Q_0)\lambda - 2q^2b_0$

для собственных чисел  $\lambda_1(q) \div \lambda_4(q)$ . При  $q = 1$  детерминант матрицы (характеристическое уравнение) имеет вид  $2\lambda^4 + 14\lambda^3 + 35\lambda^2 + 36\lambda + 12 = 0$ . С корнями  $\lambda_{1,2} = (-6 \pm 2\sqrt{3})/4$  и  $\lambda_{3,4} = -2$ . Устойчивость системы (4.17) очевидна из анализа фазовой плоскости. Линеаризация уравнений (4.17) приводит к системе  $(\lambda + 2)\delta K = 0, 2\delta K - (\lambda + 2)\delta a = 0$ , имеющую вырожденный корень  $-2$ . При  $q \neq 1$  коэффициенты характеристического уравнения — громоздкие функции отношения сторон прямоугольной ячейки  $q$  (рис. 1). Из расчетов этого уравнения следует, что на отрезке  $0 < 1/q < 1$  корни  $\lambda_1 < 0, \lambda_2 < 0$  и  $\Re\lambda_3 < 0, \Re\lambda_4 < 0$ . Корни  $\lambda_3, \lambda_4$  вырождены при  $q = 1$ . Они становятся действительными, разными и отрицательными около  $1/q = 0$ .

Проанализируем полученные результаты. Доказано, что стационар  $S$  (9.11), (9.12) устойчив (узел). Проекция четырехмерного фазового пространства системы (9.7)–(9.10) на плоскость  $K, Q$  представлена на рис. 13. Рассмотрим матрицу  $G$  коэффициентов при производных  $\dot{K}, \dot{Q}, \dot{a}, \dot{b}$  этой системы. Ее детерминант дается выражением  $K + Q/q = 1$ . На поверхности  $\det G = 0$  ускорения  $\dot{a}, \dot{b}$  обращаются в бесконечность [13, 15]. Проекция поверхности отмечена буквой  $G$  на рис. 13. Поверхность  $G$  ограничивает физическую

<sup>10)</sup> Отметим, что в случае высокосимметричных решеток (разд. 4) исследование устойчивости РТ- и РМ-стационаров не требуется. Оно очевидно из структуры фазового пространства. Наоборот, в случае  $2m$  исследование устойчивости позволяет описать эту структуру.



**Рис. 13.** Фазовое пространство и траектории. Точка  $S$  — стационар (узел), притягивающий траектории, отправляющиеся от слабо возмущенных начальных данных:  $a - q = 1$ ,  $b - q > 1$

область. Физические траектории стартуют из центра  $K = Q = 0$  (если при  $t = 0$  граница плоская) и его окрестности. При  $t \rightarrow \infty$  все они заканчиваются в узле  $S$ .

Случай  $q = 1$  показан на отдельном рис. 13а. Как видим, пузыри с симметрией  $2m$  при  $t \rightarrow \infty$  повышают симметрию и превращаются в пузыри с симметрией  $4m$ . К симметричному случаю ( $q = 1$  и  $a(0) = b(0)$ ,  $K(0) = Q(0)$ ) с двумерным фазовым пространством (4.17)  $K = Q$ ,  $a = b$  на рис. 13а относятся траектории, проходящие по биссектрисе  $K = Q$ .

Зависимости кривизны по длинному направлению  $K$  ( $q > 1$ , см. рис. 1) и скорости подъема пузырей  $w$  от  $1/q$  показаны на рис. 14. Кривые 1 — расчет по формулам (9.11), (9.12) ( $w = a + b$ ), кривые 2 — асимптотики, пригодные при  $q \gg 1$  (течение в щели). В щелеобразном прямоугольнике течение выходит на  $2D$ -режим. Доминирует движение по длинной стороне. При этом  $K \approx 1/3$ ,  $Q \approx 1/3q$ ,  $w \approx 1/\sqrt{3} + 1/\sqrt{3q}$ . Решения (9.11), (9.12), разумеется, не пригодны при малых  $1/q$  (необходим учет дополнительных гармоник по оси  $x$ ). Кривые, интерполирующие зависимости 1 и 2 в переходной области, помечены цифрой 3.

9.5. РМН. Пусть  $g = 0$ . Отыщем стационар и исследуем его устойчивость. При РМН в стационаре  $K = K_0$ ,  $Q = Q_0$ ,  $a = \alpha_0/t$ ,  $b = \beta_0/t$  [13, 15, 17]. Подставляя эти соотношения в систему (9.7)–(9.10), приходим к алгебраической системе

$$(1 - 3K_0)\alpha_0 = qK_0\beta_0, \quad Q_0\alpha_0 = q(q - 3Q_0)\beta_0,$$

$$-(1 - K_0)\alpha_0 + K_0\beta_0 = -\alpha_0^2, \quad Q_0\alpha_0 - (q - Q_0)\beta_0 = -q^2\beta_0^2$$

для неизвестных  $K_0, Q_0, \alpha_0$  и  $\beta_0$ . Исключая последовательно неизвестные  $\beta_0, \alpha_0$  и затем  $Q_0$ , получаем уравнение

$$24(3 - q)K_0^3 + (q^2 + 46q - 75)K_0^2 + 2(13 - 11q)K_0 + 3(q - 1) = 0 \tag{9.13}$$

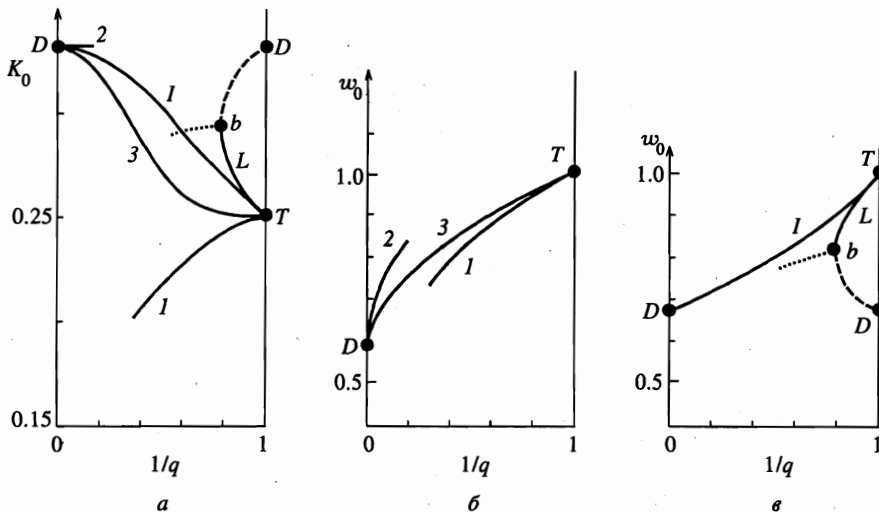


Рис. 14. Зависимости кривизны  $K$  и скорости  $w$  от отношения сторон прямоугольника  $q$ . Кривые 1, 2 и 3 — РТН (рис. а, б), Кривая 2 (на рис. а), точка  $D$  (на рис. а, е) и кривые  $L, I$  — РМН (рис. а, е)

для  $K_0(q)$ . Правильный корень отбирается из условия  $K_0(1) = 1/4$  (см. (4.19)). Пусть  $K_0(q)$  — данный корень. Остальные функции выражаются через него. Имеем

$$Q_0 = \frac{1 - 3K_0}{3 - 8K_0}q, \quad \alpha_0 = 1 - \frac{1}{q} + \left(\frac{3}{q} - 1\right)K_0, \quad \beta_0 = \frac{1 - 3K_0}{qK_0}\alpha_0, \quad w_0 = \alpha_0 + \beta_0. \quad (9.14)$$

Графики функций  $K_0(q)$  и  $w_0(q)$  приведены на рис. 14 (кривые  $L$ ). Кривые  $L$  оканчиваются в точках  $b$  с  $q \approx 1.26$ . В этой точке сливаются два корня уравнения (9.13). Действительная часть решения ( $\Re K_0, \Re w_0$ ) после слияния показана точками. При этом мнимая часть составляет небольшую ( $\approx 0.1$ ) долю от действительной части. Кривые  $L$  начинаются из точки  $T$ , относящейся к случаю квадратной решетки. Интересно, что другая ветвь ( $Db$ ) выходит при  $q = 1$  из точки  $D$ , соответствующей плоскому ( $2D$ ) решению. При  $q \neq 1$  ей соответствуют пузыри с небольшим движением по оси  $y$ . Интерполяционная кривая  $I$  соединяет асимптотики, соответствующие щели (точка  $D$ ), и решение  $L$  в промежуточной области. Отметим, что зависимости  $K(q)$ , относящиеся к РТН (кривая 3) и РМН (кривая 1), имеющие одинаковые концы при  $1/q = 0, q = 1$ , в промежуточной области различны.

Покажем, что стационар (9.13), (9.14) устойчив. Рассмотрим возмущение

$$K = K_0 + \delta K t^\lambda, \quad Q = Q_0 + \delta Q t^\lambda, \quad a = \frac{\alpha_0 + \delta \alpha t^\lambda}{t}, \quad b = \frac{\beta_0 + \delta \beta t^\lambda}{t}.$$

Линеаризуем систему (9.7)–(9.10) около него. Матрица  $M$  для собственных чисел  $\lambda$  имеет вид



$-\lambda - 3\alpha - q\beta$	0	$1 - 3K$	$-qK$
0	$-\lambda - \alpha - 3q\beta$	$-Q$	$q^2 - 3qQ$
$\alpha + \beta$	0	$(1 - K)(\lambda - 1) + 2\alpha$	$K(1 - \lambda)$
0	$\alpha + \beta$	$Q(1 - \lambda)$	$(q - Q)(\lambda - 1) + 2q^2\beta$

Здесь для краткости индексы 0 у стационарных функций опущены. Из расчетов чисел  $\lambda$  следует, что на отрезке, занятом кривой  $L$  с концевыми точками  $T$  и  $b$  ( $1 < q < 1.26$ ), все собственные числа различны и отрицательны<sup>11</sup>). Следовательно, имеется степенное затухание возмущений и стационар (9.13), (9.14) устойчив. Отметим, что на ветке  $Db$ , показанной штрихами на рис. 14а, в, имеется одно положительное собственное число  $\lambda$ , указывающее на неустойчивость этого стационара.

Как и при РТН, траектории системы (9.7)–(9.10) в случае  $g = 0$  соединяют окрестность центра  $K = Q = 0$  и узел  $S$ . Качественно структура фазового пространства аналогична показанной на рис. 13. В частности, при  $q = 1$  и несимметричных начальных данных ( $a(0) \neq b(0)$ ) при  $t \rightarrow \infty$  происходит повышение симметрии ( $2m \rightarrow 4m$ ). Двумерное фазовое пространство квадратной решетки (п. 4.5, 4.6) находится на биссектрисе  $K = Q$ ,  $a = b$  четырехмерного фазового пространства системы (9.7)–(9.10).

### 10. ОДНОПАРАМЕТРИЧНОСТЬ РЭЛЕЙ-ТЕЙЛОРОВСКИХ СТАЦИОНАРОВ

Выше исследована нестационарная стадия. Показано, что в процессе эволюции рост возмущений насыщается и слабо возмущенное состояние трансформируется в стационарное (предельное). В силу этого теория стационаров важна. Рассмотрим ее в случае РТН. Главным свойством является однопараметричность (1d) стационаров [41–43, 24]. Благодаря ей, удается построить количественную теорию стационаров [24].

10.1. *Однопараметричность в 2D-геометрии.* Рассмотрим потенциальное обтекание внешним потоком профиля  $z = \eta(x)$ , изображенного на рис. 15а (кривая 1). Профиль находится в полосе  $0 < x < \pi$ . При  $z \rightarrow +\infty$  задана скорость набегающего потока  $w_\infty = 1$ . Функция  $\eta(x)$  монотонно убывает и  $\eta \rightarrow -\infty$  при  $x \rightarrow \pi$ . Форма профиля  $\eta(x)$  фиксирует потенциал течения  $f(\xi = x + iz)$ . Вместе с потенциалом определяется распределение давления на границе профиля  $p_\eta(x) = p[x, z = \eta(x)]$ . Положение точки на этой границе задается как координатой  $x$ , так и координатой  $z$ . Поэтому распределение давления можно представить и в виде функции  $p_\eta(z)$ . Итак, профиль  $\eta$  определяет распределение  $p_\eta(z)$  ( $\eta \rightarrow p_\eta$ ).

В обратном случае задается функция  $p_\eta(z)$  (по-прежнему  $w_\infty = 1$ ). Между функциями  $p_\eta(z)$  и  $\eta(x)$  имеется (по крайней мере локально) взаимно-однозначное соответствие. Поэтому задание  $p_\eta(z)$  фиксирует потенциал  $f(\xi)$  и форму  $\eta(x)$  ( $p_\eta \rightarrow \eta$ ).

<sup>11</sup> Например, при  $q = 1$  имеем  $\det M = 2\lambda^4 + 10\lambda^3 + 17\lambda^2 + 11\lambda + 2 = 0$  с собственными числами  $-1, -2, (-4 \pm 2\sqrt{2})/4$ . Линеаризация (4.17) дает систему  $(\lambda + 2)\delta K = 0, 2\delta K + (\lambda + 1)\delta\alpha = 0$  с корнями  $\lambda_1 = -1$  и  $\lambda_2 = -2$ . При  $q \neq 1$  характеристическое уравнение  $\det M = 0$  чрезвычайно громоздко.

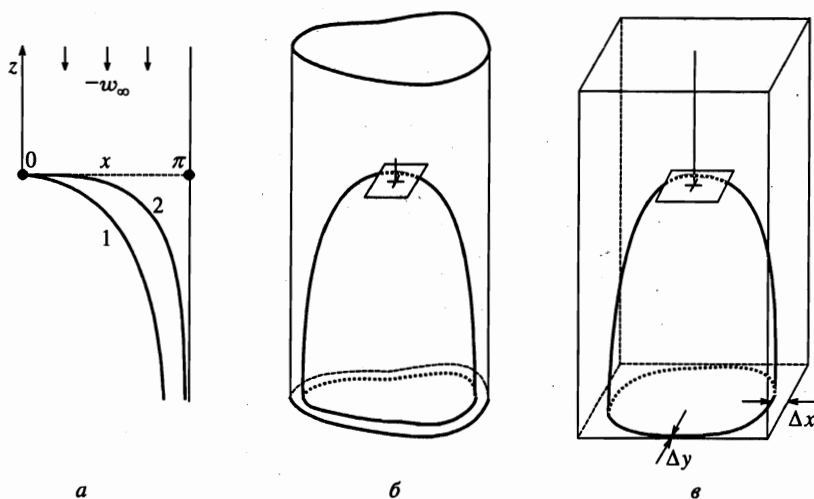


Рис. 15. Однопараметрические семейства пузырей. *a* — 2D-случай, *б, в* — 3D-случай

Рассматривается динамика тяжелой жидкости со свободной поверхностью в однородном поле тяжести. В связи с этим нас интересует только частный класс распределений  $p_\eta(z)$ , состоящий из линейных распределений

$$p_\eta(z) = gz \quad (10.1)$$

с  $g > 0$ . Имеется единственный параметр  $g$ , пробегающий класс (10.1). Распределениям (10.1) соответствует однопараметрический класс потенциалов  $f(\xi; g)$  и профилей  $\eta(x; g)$ . Все они являются решениями задачи о стационарном подъеме пузыря с границей  $\eta(x; g)$ , поскольку эта граница есть линия тока и на ней в силу (10.1) и уравнения Бернулли выполняется условие  $(u^2 + w^2) = -2g\eta$ .

Следовательно, задача о стационарных РТ-пузырях имеет 1d-семейство решений. На рис. 15*a* показаны два пузыря из этого семейства (кривые 1 и 2), соответствующие значениям  $g_1$  и  $g_2 > g_1$ .

Ясно, что вместо  $g$  параметром может быть скорость  $w_\infty$ . Действительно, зафиксируем форму некоторого профиля  $\eta(x; g_f)$  из класса (10.1). При фиксированной форме  $\eta$  вариация  $g$  (давление отсчитывается от давления в вершине профиля) приводит к вариации  $w_\infty$ . Более затупленный пузырь (кривая 2 на рис. 15*a*) имеет меньшую скорость подъема  $w_\infty$ .

Наличие однопараметрического семейства решений в задаче о тяжелой жидкости хорошо известно из теории гравитационных волн [44].

10.2. *Однопараметричность в 3D-геометрии.* Из тех же простых соображений следует, что однопараметричность имеется и в 3D-случае. Покажем это. Рассмотрим потенциальное обтекание профиля  $\eta(x, y)$  в вертикальной трубе произвольного сечения (рис. 15*б, в*). Пусть  $w_\infty = 1$ . Потенциал  $f(x, y, z)$  и распределение давления  $p_\eta(x, y)$  на границе фиксируются формой профиля  $\eta(x, y)$  ( $\eta \rightarrow p_\eta$ ).

Представим функцию  $p_\eta(x, y)$  в виде эквивалентной ей функции  $p_\eta(z, \theta)$ , где  $\theta$  — азимутальный угол, лежащий в горизонтальной плоскости. Профили  $\eta$  имеют точку

торможения. Она отмечена крестиком на рис. 15б, в. Будем называть ее вершиной пузыря  $B$ . К задаче о тяжелой жидкости имеет отношение случай, в котором точка  $B$  наивысшая на профиле. Соответственно, касательная плоскость в этой точке горизонтальна. Линия тока, входящая в вершину, перпендикулярна касательной плоскости. Крест на рис. 15б, в указывает направления главных кривизн  $K$  и  $Q$ .

В обратном случае задается функция  $p_\eta(z, \theta)$ . Она определяет потенциал  $f(x, y, z)$  и форму  $\eta(x, y)$ .

Однородному гравитационному полю соответствует частный класс функций  $p_\eta(z, \theta)$ . В нем эти функции изотропны и линейны:

$$p_\eta(z, \theta) = gz. \quad (10.2)$$

Это простое следствие теоремы Бернулли, которую необходимо применить к линиям тока, выходящим из вершины, и контурам, которые получаются в горизонтальных срезах поверхности  $\eta$ . С классом (10.2) связано  $1d$ -семейство потенциалов и пузырей, которые можно представить и в виде  $f(x, y, z; g)$ ,  $\eta(x, y; g)$ , и в виде  $f(x, y, z; w_\infty)$ ,  $\eta(x, y; w_\infty)$ .

Пусть параметром является  $w_\infty$ . Как и в  $2D$ -случае (ср. кривые 1 и 2 на рис. 15а), пузырь с малым значением  $w_\infty$  является более затупленным (кривизны  $K$  и  $Q$  меньше) и имеет более тонкую пристеночную струю (рис. 15б, в)<sup>12)</sup>.

Разнообразие сечений труб больше в  $3D$ -геометрии. В  $2D$ -случае трубой является полоса или щель, ограниченная двумя параллельными стенками, перпендикулярными плоскости  $x, z$ , см. рис. 15а. В  $2D$ -случае пузыри имеют форму валов, перпендикулярных плоскости рисунка, а в  $3D$ -случае — форму «пальцев», окруженных пристеночными струями. Частные случаи труб общего вида соответствуют трубам с симметричными сечениями, которые могут быть основой паркетного покрытия (разд. 3, рис. 1–6, 15в). В этих случаях потенциалы даются рядами (3.1), (3.2), а углы и стенки труб представляют собой симметричные вертикали и плоскости (п. 3).

## 11. ИСТИННЫЙ СТАЦИОНАР И ОДНОПАРАМЕТРИЧНОСТЬ

Параболическое приближение ( $N = 1$ , разд. 1) оказывается довольно простым (разд. 4, 9). Благодаря этому, удается аналитически описать структурные эффекты, связанные с  $3D$ -геометрией (разд. 5–7). Интереснейшая проблема заключается в распространении этого подхода на старшие аппроксимации ( $N > 1$ ). При  $N = 1$  система совершает переход из начального слабо возмущенного состояния  $I$  в стационар  $S$  ( $I \rightarrow S$ ; разд. 4, 5, 9). При этом траектория  $I \rightarrow S$  минует поверхность  $G$  (рис. 13). Анализ аналогичных (4.17) систем старшего порядка наталкивается на трудности. Оказывается, при  $N > 1$  траектории, стартующие из состояний  $I$ , перехватываются поверхностью  $G$  [13, 15]. Подойдем к проблеме с другой стороны. Рассмотрим стационары и траектории возле них. На этом пути удастся получить важные результаты.

*Нульпараметрические решения.* Анализ окрестности стационаров требует отыскания стационарных точек и исследования их устойчивости. Рассмотрим вопросы поиска стационаров. В качественном отношении положение дел в  $2D$ - и  $3D$ -случаях совершенно

<sup>12)</sup> Напомним, что рассматривается предельный случай ( $t \gg 1/\sqrt{gk}$ ), когда седла  $S_s$ ,  $S_w$  и вершины  $J$  удаляются на большие расстояния от вершины  $B$ . Отношение толщин  $\Delta_x/\Delta_y$  пристеночных струй обсуждается в п. 5.3.

одинаково [28, 29, 17]. В высших приближениях в  $2D$ -геометрии имеем

$$\eta = \sum_{n=1}^N K_n x^{2n}, \quad f(\xi) = \varphi + i\psi = - \sum_{n=1}^N a_n \left( \frac{e^{in\xi}}{n} - i\xi \right), \quad \xi = x + iz. \quad (11.1)$$

Стационарами являются решения алгебраических систем

$$\psi_\alpha(K_1, \dots, K_N, a_1, \dots, a_N) = 0, \quad p_\alpha(K_1, \dots, K_N, a_1, \dots, a_N) = 0, \quad (11.2)$$

где  $\alpha = 1, \dots, N$ . При  $N = 1$  система (11.2) для неизвестных  $K_n, a_n$  (11.1) принимает вид  $\psi_1 = 1 - 3K_1 = 0$ ,  $p_1 = a_1^2 - K_1 = 0$ . Она аналогична уравнениям  $\psi_1 = 1 - 4K_1 = 0$ ,  $p_1 = a_1^2 - 4K_1 = 0$ , которые получаются из системы (4.17) ( $g = 1; 6m, 4m$ ) при  $\dot{K}_1 = 0$ ,  $\dot{a}_1 = 0$ .

При  $N \leq 6$  системы (11.2) решаются точно [45]. Пусть индекс  $i$  пробегает корни системы (11.2)  $(K_N, a_N)^i$  в  $N$ -м приближении,  $K_N = \{K_1, \dots, K_N\}$ ,  $a_N = \{a_1, \dots, a_N\}$ . Показано [17], что из набора корней  $\{i\}$  в каждом порядке по  $N$  при  $N \leq 6$  физически корректным является не более чем один корень. Обозначим его

$$(K_N, a_N)^{0d}. \quad (11.3)$$

Была написана программа численного решения системы (11.2) ньютоновскими итерациями. Оказалось, что расстояния между корнями (11.3) из разных порядков по  $N$  значительно больше радиуса сходимости итераций. Оказалось также, что итерации не позволяют подняться по порядку аппроксимации  $N$  в значения  $N > 6$ , используя корни с  $N \leq 6$  как исходное приближение.

*Однопараметрические решения.* Интересный подход к проблеме стационаров связан с использованием свойства однопараметричности. Качественному доказательству однопараметричности посвящен разд. 10. Проанализируем ее количественно. Однопараметрические решения описываются разложениями

$$\eta = \sum_{n=1}^N K_n x^{2n}, \quad f(\xi) = - \sum_{m=1}^M a_m \frac{e^{im\xi}}{m} + iw_\infty \xi, \quad (11.4)$$

где  $N$  — порядок аппроксимации граничных условий. Спектральное разложение (11.4) имеет нужную асимптотику при  $z \rightarrow +\infty$ . Важным является соотношение

$$M = N + 1, \quad (11.5)$$

связывающее число гармоник  $1d$ -решения (11.4) и порядок аппроксимации. Система  $2N + 1$  уравнений, которым удовлетворяют неизвестные  $K_1, \dots, K_N, a_1, \dots, a_N, a_M$ , имеет вид

$$\begin{aligned} \psi_\alpha(K_1, \dots, K_N, a_1, \dots, a_N, a_M) &= 0, \\ p_\alpha(K_1, \dots, K_N, a_1, \dots, a_N, a_M) &= 0, \end{aligned} \quad (11.6)$$

$$a_1 + \dots + a_N + a_M = w_\infty, \quad \alpha = 1, \dots, N,$$

где номер последней учитываемой в данном порядке  $N$  амплитуды Фурье дается формулой (11.5), из функций  $\psi_\alpha, p_\alpha$  параметр  $w_\infty$  исключен с помощью последнего уравнения в системе (11.6). Условие наличия нужной точки торможения в вершине  $\xi = 0$  добавляет уравнение  $\sum a_m = w_\infty$  в систему (11.6). Как и должно быть (разд. 10), решения уравнений (11.6) являются функциями

$$K_1(w_\infty), \dots, K_N(w_\infty), a_1(w_\infty), \dots, a_N(w_\infty), a_M(w_\infty) \tag{11.7}$$

от параметра. Будем называть кривые (11.7) однопараметрическими или  $1d$ -решениями, а решение в виде точки (11.3) нульпараметрическим или  $0d$ -решением.

Была составлена программа итеративного решения системы (11.6). В противоположность случаю (11.2) оказалось, что итерации сходятся быстро. Это открывает путь отыскания  $0d$ -точек при помощи  $1d$ -кривых.

*Отношение  $0d$ -решений к  $1d$ -решениям.* Сравним системы (11.2) и (11.6), (11.5) и их решения (11.3) и (11.7) при одинаковых  $N$ . Как сказано,  $1d$ -решения (11.7) есть функции от  $w_\infty$ . В частности, функцией от  $w_\infty$  является последняя амплитуда  $a_M$ . Оказывается, существует такое значение параметра  $w_\infty^{0d}$ , при котором

$$a_M(w_\infty^{0d}) = 0. \tag{11.8}$$

Пусть

$$K_1^{0d}, \dots, K_N^{0d}, a_1^{0d}, \dots, a_N^{0d}, a_M^{0d} = 0 \tag{11.9}$$

— решение (11.7) при  $w_\infty^{0d}$ . Видим, что оно принадлежит кривой (11.7).

Сопоставим уравнения (11.2) и (11.6). Подставим решение (11.9) без  $a_M^{0d}$  в систему (11.2) того же порядка. Легко видеть, что (11.9) дает решение системы (11.2) вида (11.3).

Сказанное позволяет обойти трудность с отсутствием сходимости итеративного решения системы (11.2), поскольку система (11.2) и система (11.6) без последней амплитуды  $a_M$  и без последнего уравнения  $\sum a_m = w_\infty$  одинаковы. А именно, итеративно строится  $1d$ -кривая решений (11.7) системы (11.6). На ней отыскивается точка (11.8). Эта точка и является  $0d$ -точкой в данном порядке по  $N$ . Таким методом были найдены следующие  $0d$ -точки:  $R(N = 1) = 3, R(N = 3) = 2.57, R(N = 6) = 2.556, R(N = 8) = 2.4445$ , где  $R$  — радиус кривизны в вершине пузыря.

На рисунке 16а для некоторого порядка  $N$  изображена  $1d$ -кривая (11.7) и точка  $0d$  (11.3), (11.8), (11.9), лежащая на ней. Обозначено  $\mathbf{K} = K_1, \dots, K_N, \mathbf{a}_M = a_1, \dots, a_N, a_M, \mathbf{a}_N = a_1, \dots, a_N$ ,  $M$ -я компонента вектора  $\mathbf{a}_N$  равна нулю. Проекция точки  $0d$  на пространство  $\mathbf{K}, \mathbf{a}_M$  лежит в плоскости  $a_M = 0$ . Проекция всех других точек с  $1d$ -кривой на это пространство, например, точки, помеченной на рис. 16а квадратиком, имеют  $a_M \neq 0$ .

*Об истинных стационарах.* Нетрудно понять, что только  $0d$ -точки являются истинными стационарами. Действительно, нестационарная система вида (4.17) в высших порядках принимает вид

$$K_\alpha = \psi_\alpha(\mathbf{K}, \mathbf{a}_N), \quad \sum_{\beta=1}^N G_{\alpha\beta} \dot{a}_\beta = p_\alpha(\mathbf{K}, \mathbf{a}_N), \quad \alpha = 1, \dots, N, \tag{11.10}$$

где правые части  $\psi_\alpha, p_\alpha$  те же самые, что и в системе (11.2) [13, 15]. Система (11.2) получается из уравнений (11.10) при  $\dot{K} = 0, \dot{a} = 0$ . Поэтому решение (11.3) является стационарной точкой системы (11.10). Асимптотически решения уравнений (11.10) стремятся

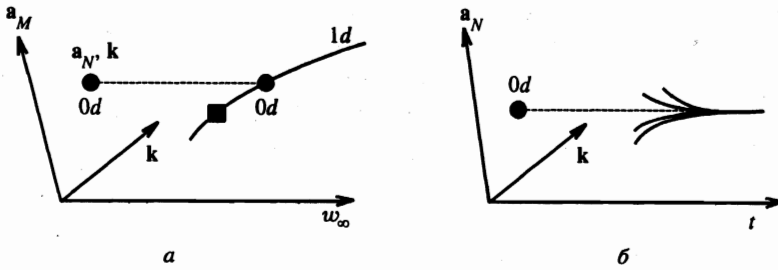


Рис. 16. а) Кривая  $1d$  и точка  $0d$  на ней. б) Эволюция системы при  $t \rightarrow \infty$  может закончиться только в точке  $0d$ , сплошные кривые — траектории системы (11.10)

к предельным значениям (11.3), (11.8), (11.9), см. рис. 16б. При этом в асимптотике сумма  $\sum^N a_n$  примет то значение ( $w_\infty^{0d}$ ), которое получится в этом пределе — нельзя требовать, чтобы это значение было отличным от  $w_\infty^{0d}$ . Устойчивость  $0d$ -точки доказана при  $N = 1$  (разд. 4, 9, [15, 18]). Видимо,  $0d$ -точки устойчивы при  $N > 1$ .

Повторим, что остальные точки с  $1d$ -кривой, например, квадратик на рис. 16а, не являются стационарами в данном порядке по  $N$ . Их нельзя исследовать на устойчивость. Если взять  $1d$ -решение (11.7), скажем квадратик, отбросить последнюю амплитуду  $a_M$  и подставить полученный таким образом укороченный набор  $K_1, \dots, K_N, a_1, \dots, a_N$  в нестационарную систему (11.10), то правые части этих уравнений не будут равны нулю и, следовательно, в этой точке стационарности нет ( $K \neq 0, \dot{a} \neq 0$ ).

В этом отношении стационарные пузыри ( $g = 1, \partial_t = 0$ , краевые условия (2.1), (2.2)) качественно отличаются от стационарных гравитационных волн ( $g = -1, \partial_t = 0$ , краевые условия те же). В случае волн имеем

$$\eta = \sum_{n=1}^N K_n x^{2n}, \quad f(\xi) = i \sum_{n=1}^N a_n \frac{e^{in\xi}}{n} - w_\infty \xi,$$

амплитуды  $a_n$  действительны, жидкость находится при  $z > \eta$ . Аналогичная системе (11.6) система в случае волн имеет вид

$$\hat{\psi}_\alpha(K_1, \dots, K_N, a_1, \dots, a_N; w_\infty) = 0, \quad \hat{p}_\alpha(\dots) = 0, \quad \alpha = 1, \dots, N, \quad (11.11)$$

где крышки над  $\psi$  и  $p$  означают, что это другие функции аргументов, отличные от функций в (11.6). Существенно, что здесь нет дополнительного уравнения, связанного с точкой торможения, и поэтому нет дополнительной амплитуды  $a_M$ . Решения системы (11.11) являются функциями от параметра [44]:

$$\hat{K}_1(w_\infty), \dots, \hat{K}_N(w_\infty), \quad \hat{a}_1(w_\infty), \dots, \hat{a}_N(w_\infty). \quad (11.12)$$

Благодаря тому что в случае волн число нестационарных уравнений, аналогичных уравнениям (11.10), совпадает с числом функций (11.12), около каждой точки  $1d$ -кривой (11.12) может быть проведена линеаризация нестационарных уравнений.

**Единственность  $0d$ -стационара.** Важно подчеркнуть, что в каждом порядке по  $N$  имеется не более одной  $0d$ -точки. Следовательно, решение задачи об асимптотике РТ-пузырей является единственным.

Авторы выражают глубокую благодарность С. И. Анисимову и О. М. Белоцерковскому за внимание к работе. Работа выполнена при финансовой поддержке Российского фонда фундаментальных исследований (проект 99-02-16666 и 97-01-00931) и программы поддержки ведущих научных школ (96-15-96448 и 96-15-96137).

## Литература

1. А. М. Прохоров, С. И. Анисимов, П. П. Пашинин, УФН **119**, 401 (1976).
2. С. И. Анисимов, А. М. Прохоров, В. Е. Фортгов, УФН **134**, 1000 (1983), **142**, 395 (1984).
3. M. M. Marinak, S. G. Glendinning, R. J. Wallace, B. A. Remington et al., Phys. Rev. Lett. **80**, 4426 (1998).
4. M. Herant and S. E. Woosley, Astrophys. J. **425**, 814 (1994).
5. W. Hillebrandt, Astrophys. J. **452**, 769, 779 (1995).
6. S. I. Anisimov, Ya. B. Zel'dovich, N. A. Inogamov, and M. F. Ivanov, in: *Shock waves, explosions and detonation*, ed. by J. R. Bowen, J.-C. Leyer, and R. I. Soloukhin, *Progress in Astronautics and Aeronautics Series* (M. Summerfield, editor-in-chief). Vol. **87**, AIAA, Washington, D. C. (1983), p. 218.
7. K. O. Mikaelian, Phys. Rev. Lett. **80**, 508 (1998).
8. S. I. Abarzhi, Phys. Rev. Lett. **81**, 337 (1998).
9. Q. Zhang, Phys. Rev. Lett. **81**, 3391 (1998).
10. V. N. Goncharov, Phys. Rev. Lett. **82**, 2091 (1999).
11. D. Layzer, Astrophys. J. **122**, 1 (1955).
12. R. M. Davies and G. I. Taylor, Proc. Roy. Soc. London Ser. A. **200**, 375 (1950).
13. Н. А. Иногамов, Письма в АЖ **20**(10), 754 (1994).
14. J. Hecht, U. Alon, and D. Shvarts, Phys. Fluids **6**, 4019 (1994).
15. Н. А. Иногамов, ЖЭТФ **107**, 1596 (1995).
16. U. Alon, J. Hecht, D. Ofer, and D. Shvarts, Phys. Rev. Lett. **74**, 534 (1995).
17. N. A. Inogamov, Laser and Particle Beams **15**, 53 (1997).
18. N. A. Inogamov, *Proc. of the 6th International Workshop on the Physics of Compressible Turbulent Mixing*, ed. by G. Jourdan, L. Houas, Institut Universitaire des Systemes Thermiques Industriels. Printed in France by Imprimerie Caractere, Marseille (1997), p. 208.
19. S. W. Haas, Phys. Fluids B **3**(8), 2349 (1991).
20. A. L. Velikovich and G. Dimonte, Phys. Rev. Lett. **76**(17), 3112 (1996).
21. R. Menikoff and C. Zemach, J. Comp. Phys. **51**, 28 (1977).
22. G. R. Baker and D. W. Moore, Phys. Fluids A **1**(9), 1451 (1989).
23. A. I. Dyachenko, E. A. Kuznetsov, M. D. Spector, and V. E. Zakharov, Phys. Lett. A **221**, 73 (1996).
24. Н. А. Иногамов, Письма в ЖЭТФ **55**, 505 (1992).
25. А. В. Шубников, *Симметрия*, Изд. АН СССР, М.Л. (1940).
26. А. В. Шубников, В. А. Копчик, *Симметрия в науке и искусстве*, Наука, Москва (1972).
27. Ю. И. Сиротин, М. П. Шаскольская, *Основы кристаллофизики*, Наука, Москва (1979).
28. С. И. Абаржи, Н. А. Иногамов, ЖЭТФ **107**(1), 245 (1995).
29. N. A. Inogamov and S. I. Abarzhi, Physica D **87**(1-4), 339 (1995).
30. Ю. М. Давыдов, М. С. Пантелеев, ПМТФ **1**(125), 117 (1981).
31. D. L. Youngs, Phys. Fluids A **3**, 1312 (1991).
32. X. L. Li, Phys. Fluids **8**, 336 (1996).
33. J. F. Haas, I. Galametz, L. Houas, G. Jourdan, and G. Rodriguez, Chocs, Num. **14**, 15 (1995).
34. А. Н. Алешин, С. Г. Зайцев, Е. В. Лазарева, В. Б. Розанов, Изв. РАН МЖГ **6**, 111 (1995).
35. M. D. Kamchibekov, E. E. Meshkov, N. V. Nevmerzhitsky, and E. A. Sotskov, *Proc. of the 6th International Workshop on the Physics of Compressible Turbulent Mixing*, ed. by G. Jourdan, L. Houas,

- Institut Universitaire des Systemes Thermiques Industriels. Printed in France by Imprimerie Caractere, Marseille (1997), p. 238.
36. Л. Д. Ландау, Е. М. Лифшиц, *Гидродинамика*, Наука, Москва (1986).
  37. О. М. Белоцерковский, *Численное моделирование в механике сплошных сред*, Наука, Москва (1994).
  38. О. М. Белоцерковский, *Численный эксперимент в турбулентности: от порядка к хаосу*, Наука, Москва (1994).
  39. О. М. Белоцерковский, В. А. Гушин, В. Н. Коньшин, *ЖВМ и МФ* 27, 594 (1987).
  40. S. I. Anisimov, A. V. Chekhlov, A. Yu. Dem'yanov, and N. A. Inogamov, *Russian J. of Computational Mechanics* 1(2), 5 (1993).
  41. P. R. Garabedian, *Proc. Roy. Soc. London. Ser. A* 241(1226), 423 (1957).
  42. G. Birkhoff and D. Carter, *J. Math. Mech.* 6(6), 769 (1957).
  43. J.-M. Vanden-Broeck, *Phys. Fluids* 27(5), 1090 (1984).
  44. L. W. Schwartz and J. D. Fenton, *Ann. Rev. Fluid Mech.* 14, 39 (1982).
  45. Н. А. Иногамов, А. В. Чехлов, *ДАН* 328(3), 311 (1993).